



Synthèse d'images et animation

Modèles géométriques et leurs utilisations

Gilles Gesquière Laboratoire LSIS Gilles.Gesquiere@lsis.org

08/04/2011

Plan

- Modélisation géométrique
 - Partie 1 : De l'acquisition à la production d'une image fixe ou animée
 - Partie 2 : Quelques modèles géométriques
 - Partie 3 : Déformation de différents types de modèles
 - Suivi d'organes/ recherche d'endocranes
 - Couplage de codes de calculs
 - Application à la reconstruction de petits corps célestes
 - Application à la recherche d'empreintes pour le transfert vers d'autres codes de calculs.

08/04/2011

2

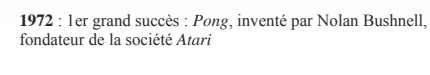
Plan

- Modélisation géométrique
 - Partie 1 : De l'acquisition à la production d'une image fixe ou animée
 - Partie 2 : Quelques modèles géométriques
 - Partie 3 : Déformation de différents types de modèles
 - Suivi d'organes/ recherche d'endocranes
 - Couplage de codes de calculs
 - Application à la reconstruction de petits corps célestes
 - Application à la recherche d'empreintes pour le transfert vers d'autres codes de calculs.

08/04/2011 3











08/04/2011

















Place et rôle du modèle

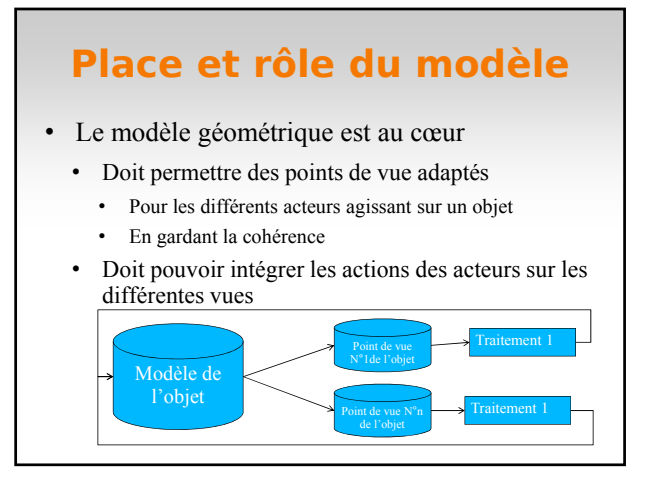
- Un modèle- des modèles ?
 - Avec un modèle par point de vue
 - Incohérence rapide au niveau de la géométrie
 - Le modèle est-il un modèle d'application ?
 - Comme un modèle pour le calcul,
 - Comme un modèle pour l'usinage,
 - Comme un modèle pour la visualisation
 - Ou une structure centrale ?
 - · La géométrie est fédératrice
 - Même s'il ne s'agit pas toujours de la même géométrie
 - La géométrie apparaît quasiment dans tous les points de vues

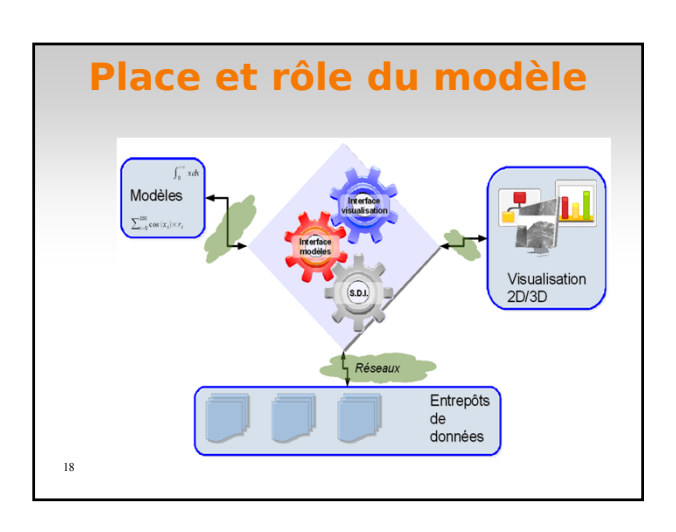
Place et rôle du modèle

- En CAO, le plan « d'antan » contenait beaucoup d'autres informations que la géométrie
 - · Epaisseur des traits
 - Cotation
 - Texte
 - Cartouche
 - ..

Place et rôle du modèle

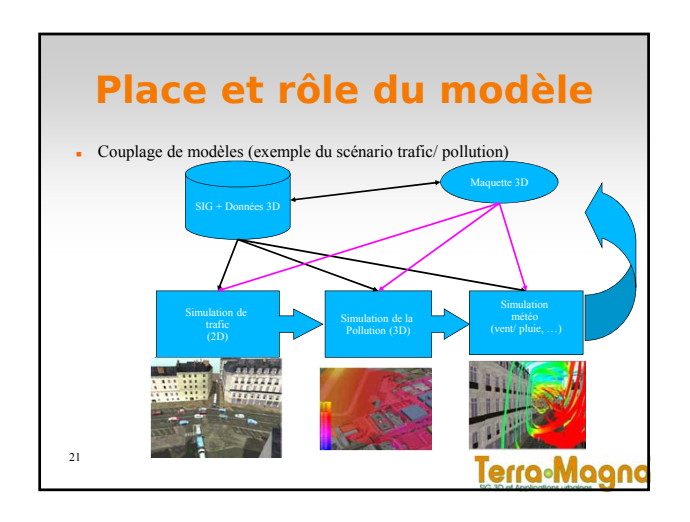
- Tendance actuelle
 - Essayer de retrouver cette richesse
 - Introduire de la sémantique dans le modèle
 - · Feature ou entités
 - · Modélisation déclarative
- Apport essentiel d'XML

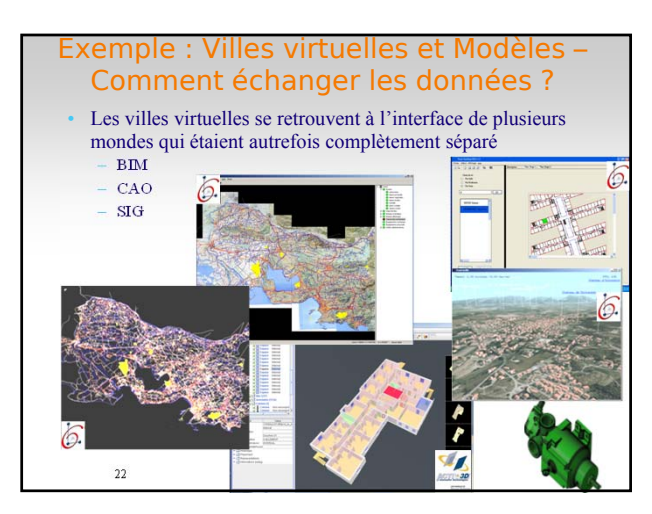






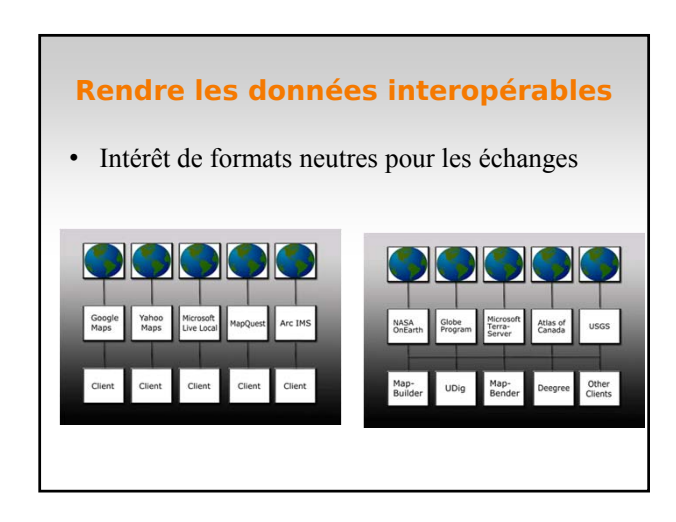






Rendre les données interopérables

- ${\bf Interop\'erabilit\'e}: capacit\'e d'un produit / système à fonctionner avec d'autres produits / systèmes$
- · Norme / Standard :
 - Indicateur de la façon dont le dialogue entre les divers éléments doit s'opérer
 - Passerelle de communication, qui peut éventuellement s'adapter aux besoins changeants des éléments
- Instances de normalisation / standardisation
 - AFNOR
 - ISO
- · Unification des paramètres
 - Simplification
 - · Diminution des coûts
 - · Valorisation par rapport aux clients
 - Facilité des échanges (clients, sous-traitants)
- Capitalisation du savoir



Rendre les données interopérables

- Un vrai besoin d'échange entre systèmes
- En 1980 création de la version 1 d'IGES
 - · Initial Graphics Exchange Specification
 - Géométrie, données graphiques, annotations
 - Norme ANSI en 1981
- IGES : format d'échange de modèle 2 ou 3D (version 6)
 - · Format ASCII de plus en plus riche
- Certains formats propriétaires s'imposent de fait
 - DXF d'Autocad

Rendre les données interopérables

- STEP: Standard for Exchange of Product Model Data, norme ISO (ISO 10303)
 - Comment représenter et échanger les informations entre les modèles numériques
- · Doit permettre de couvrir tout le cycle de vie du produit
- · Norme « multi-parties », extensibles
- Projet excessivement ambitieux (déjà une dizaine d'années)
 - · Les parties de bases sont terminées
 - Nombreuses AP à faire (Application Parts)
- Langage de description permettant de décrire n'importe quelle information d'ingénièrie : EXPRESS)

Rendre les données interopérables

- Information géographique :
 - ISO TC 211
 - Open Geospatial Consortium (OGC)
 - CEN TC/ 287
 - AFNOR Commission Information Géographique et Spatiale
 - 3D : Consortium Web3D, BuildingSMART
- Données CAO: Open Design Alliance
- Standards dédiés technologies graphiques (calcul, accélération): Groupe Khronos

Rendre les données interopérables

- ISO TC 211:
 - ISO/TS 19103 : utilisation d'UML pour info géographique
 - ISO 19107 : modèle géométrique + topologique, 2D / 3D
 - ISO 19108 : modèle temporel
 - ISO 19125-1 : Simple Feature access + Partie 2 (SQL)
 - ISO 19123 : modèle harmonisé 2D ou multidimensionnel et spatiotemporel pour l'imagerie couverture « coverage »
 - ISO 19136 ⇔ standard OGC **GML** 3.2.1 : format pour données géo 2D et 3D
- Développement de schémas d'application en réutilisant les composants définis dans les normes abstraites
- Échange de données :
 - Schéma d'application (UML) => codage Schéma XML (conforme à GML)





Norme et standards orientés visualisation

- VRML (Virtual Reality Markup Language): ISO 14772 + GeoVRML
- X3D : format à structure modulaire :
 - 4 profils de complexité croissante dont profil Total (Full) avec capacité géospatiale
 - Objets discrets ou continus, compression de géométrie, humanoïdes, GéoRef, CAO
 - Embarque l'environnement de visualisation (caméra, point de vue, lumière, effets, ...)
 - Scriptable, XML, utilisable dans WebGL
 - ISO 19775 (architecture et capacités abstraites), ISO 19776 (encodages en VRML et XML), ISO 19777 (API)
- Collada: objets 2D et 3D (Khronos Group)
- ${\bf U3D}$ (Universal 3D) : standard de fichier 3D (Ecma International) orienté publication
- KML (Keyhole Markup Language) 2.2 (OGC). Des objets 3D modélisés par des fichiers COLLADA peuvent y être référencés

Comparaison des standards de modélisation et de représentation 3D U3D KML Géométrie Topologie Sémantique (IFG) + Géoréférencement ++ ++ Apparence (textures) Linking / embedding (gestion de donnée intégrée ou liée (référencée) Légende : vide : non supporté 0 : support de niveau basique + : support nominal (sophistiqué) ++ : support exhaustif) 32

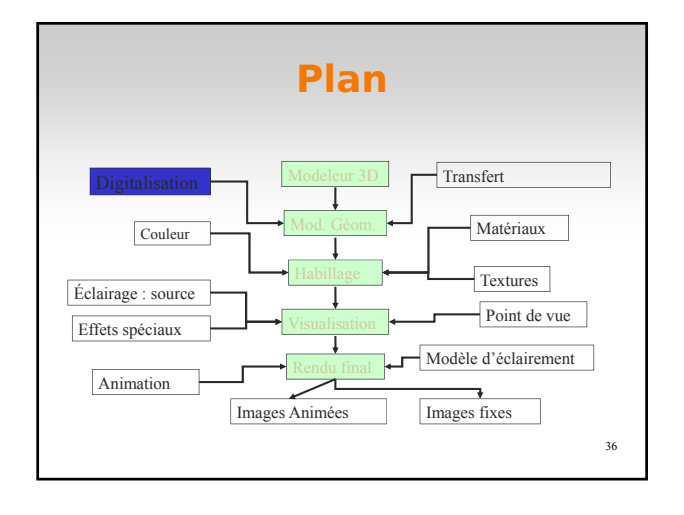


Qualité et complexité

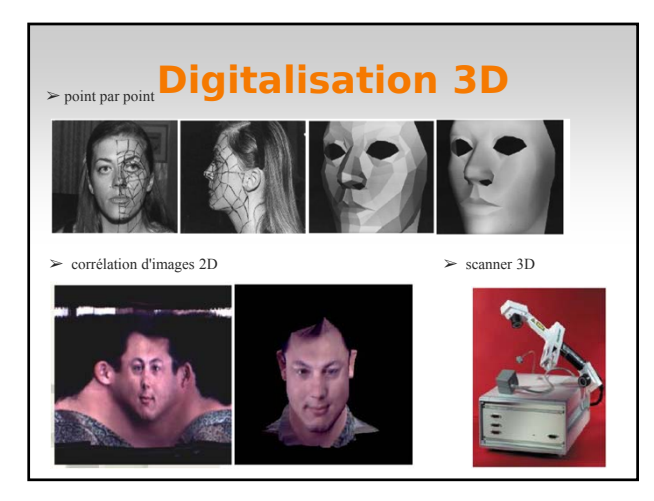
- Le premier souci doit être la qualité du modèle et des procédures
 - Correction
 - Adéquation aux besoins
 - Robustesse
 - Précision
 - Stabilité
 - Gestion des cas particuliers
 - •

Qualité et complexité

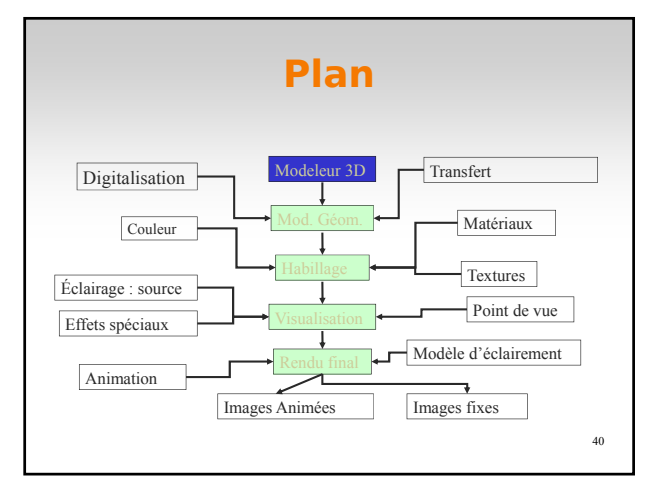
- Le deuxième souci doit être celui de la complexité à qualité équivalente
 - Dimensionnelle (2D, 3D, nD)
 - Mémoire
 - Attention à l'explosion possible
 - Temporelle

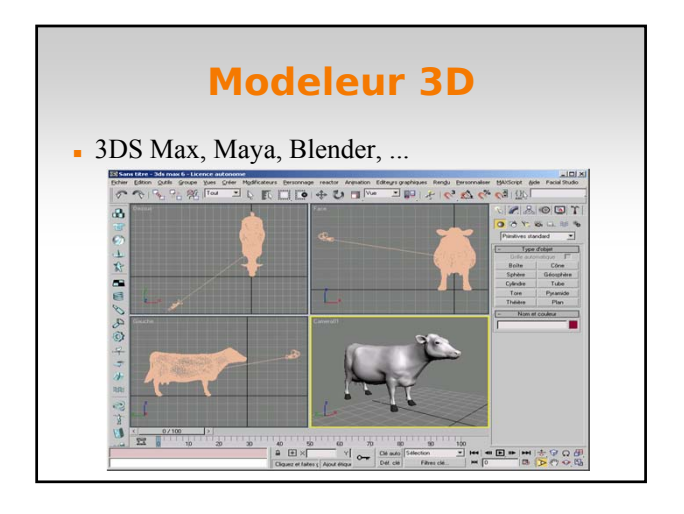


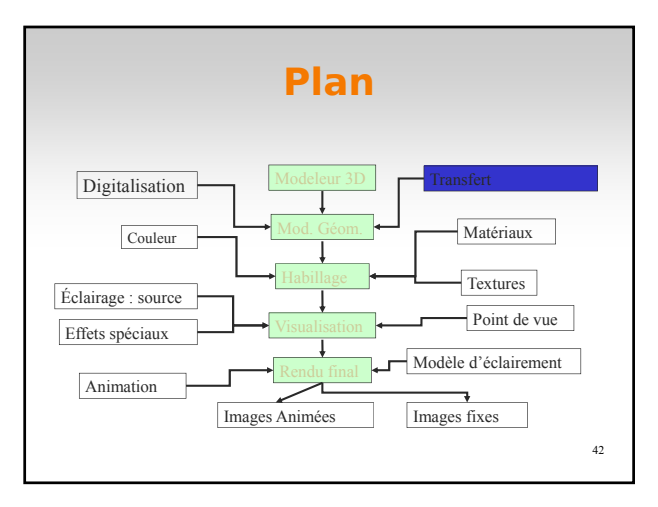












Tansfert

- Utilisation de formats de fichiers connus permettant de transférer les objets
- Les formats dépendent du type d'objets que l'on va utiliser (surfacique, volumique, ...). Voir plus tard dans la présentation
- Certains formats sont des standards de faits;
 d'autres s'appuient sur des normes

Plan

Digitalisation Modeleur 3D Transfert

M

Modélisation géométrique

- C'est le coeur de notre exposé
- Utilisation de modèles surfaciques
 - Points
 - faces
- Utilisation de modèles volumiques
 - Cubes
 - Primitives simples
- Représentation continue ou discrète
- On y revient après ...

Pian

Digitalisation

Modeleur 3D

Transfert

Matériaux

Habillage

Eclairage: source

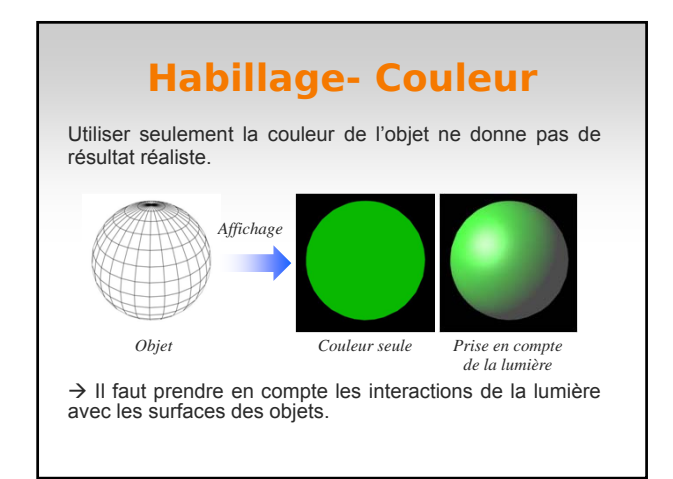
Effets spéciaux

Animation

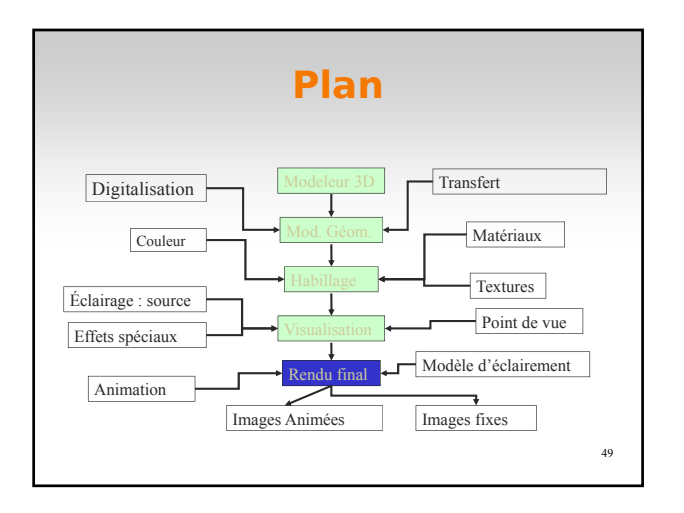
Images Animées

Images fixes

46







Modèles d'éclairement

Les objets sont vus parce qu'ils réfléchissent la lumière.

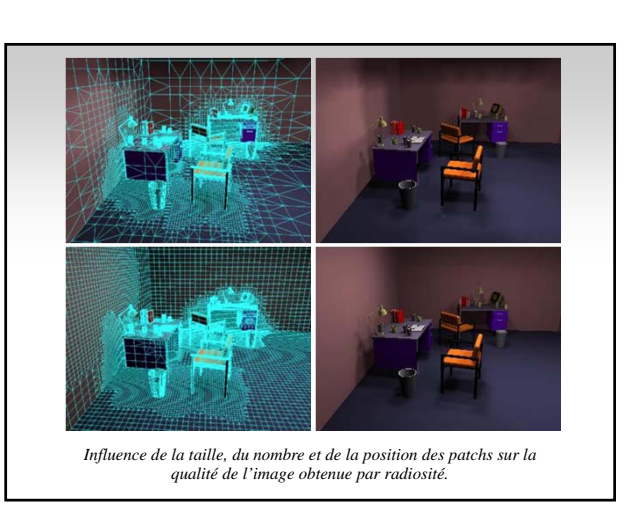
Deux types de méthodes :

- illumination globale
- · illumination locale

Illumination globale

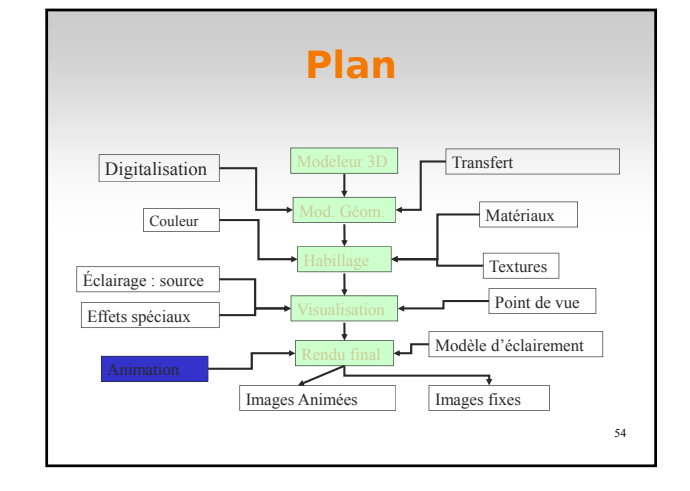
Consiste à calculer l'influence de la lumière sur un objet provenant directement des sources de lumière, mais aussi de la lumière provenant indirectement de la réflexion par les surfaces des autres objets de la scène.

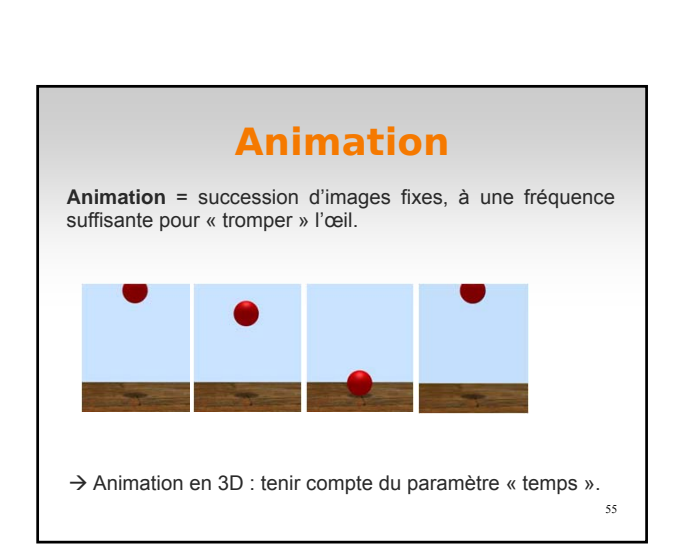


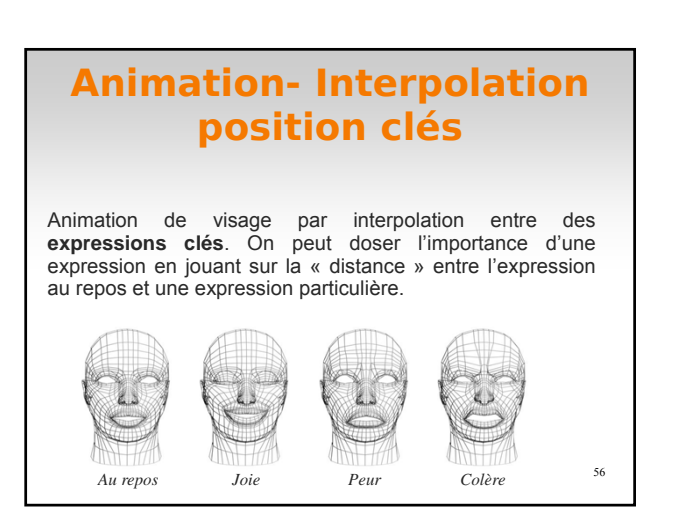


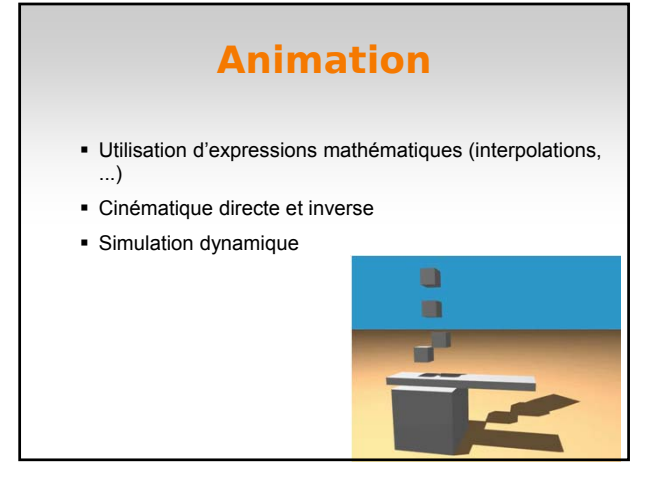


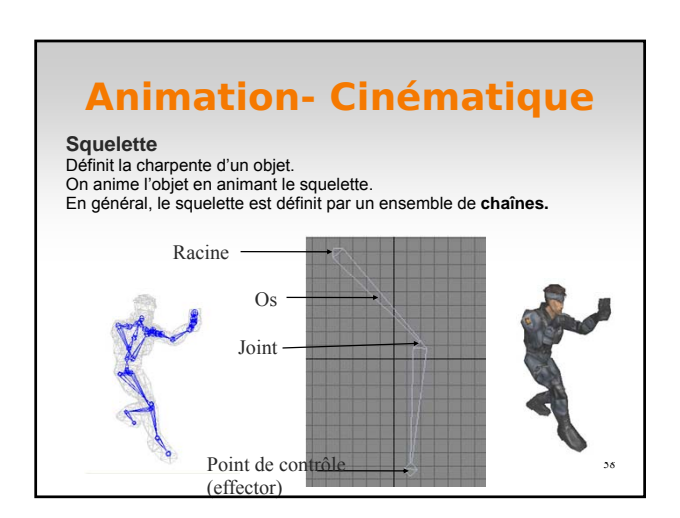
- Lancer de rayons (« raytracing »)
- Balayage de lignes (« scanline ») (OpenGL, DirectX, ...)











Animation- Cinématique

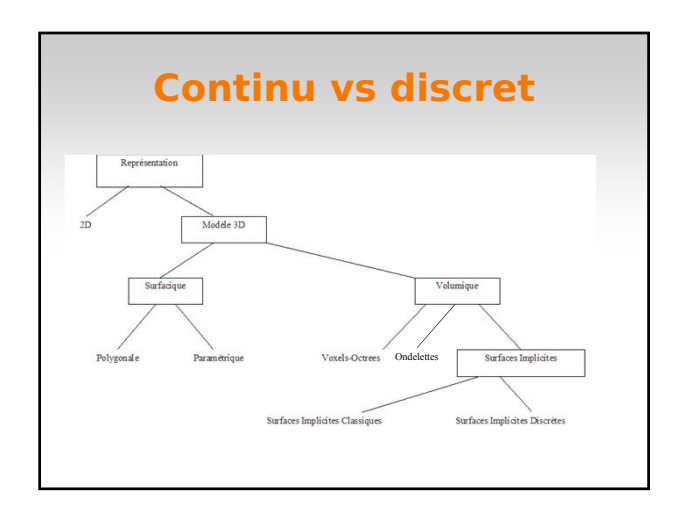
Contrôle d'une chaîne

- Cinématique directe (« forward kinematics ») On spécifie directement l'angle de chaque joint de la chaîne.
- Cinématique inverse (« inverse kinematics »)
 On spécifie la position du bout de la chaîne (« effector ») et on calcule automatiquement les angles des joints.

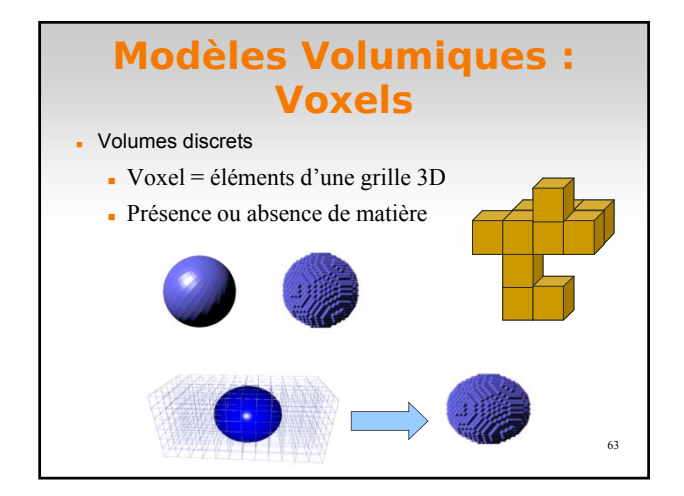
Partie 2

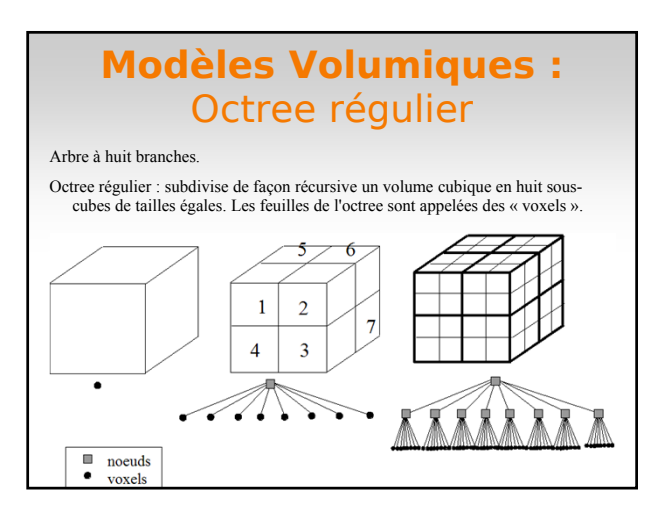
- Quelques modèles géométriques
 - Continu vs discret
 - Volumes
 - Surfaces

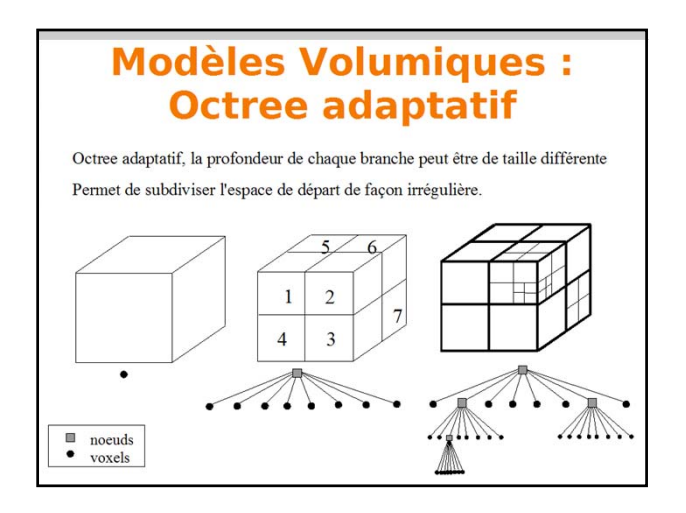
08/04/2011

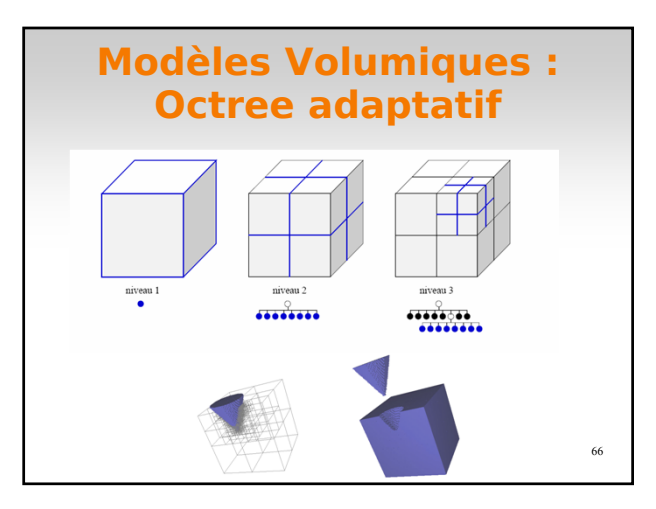


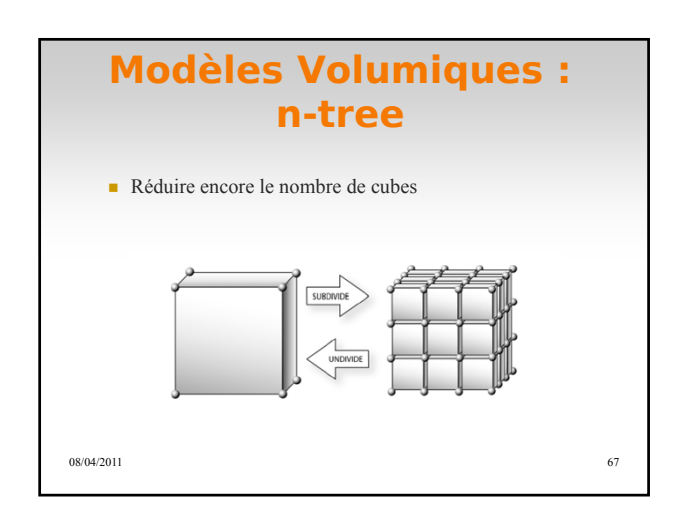
Partie 2 • Quelques modèles géométriques • Continu vs discret • Volumes • Surfaces

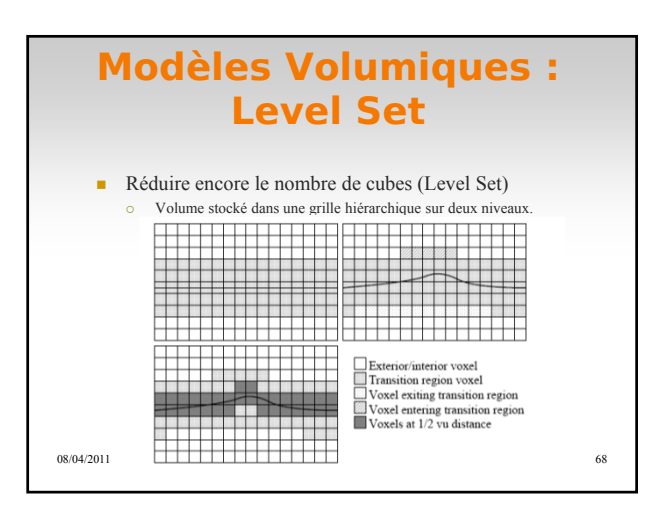


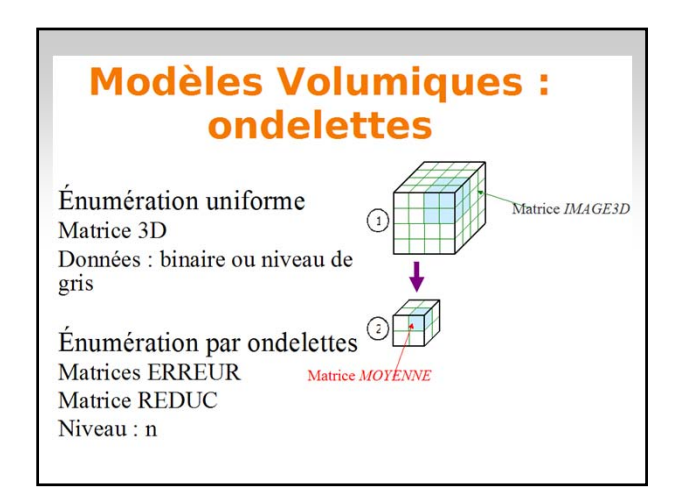


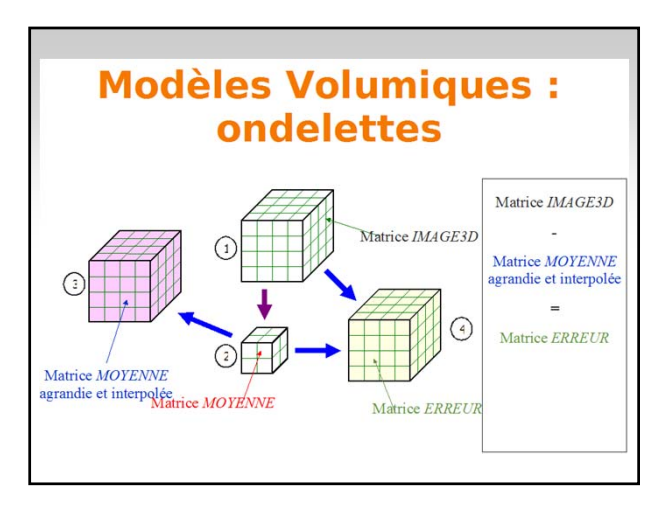


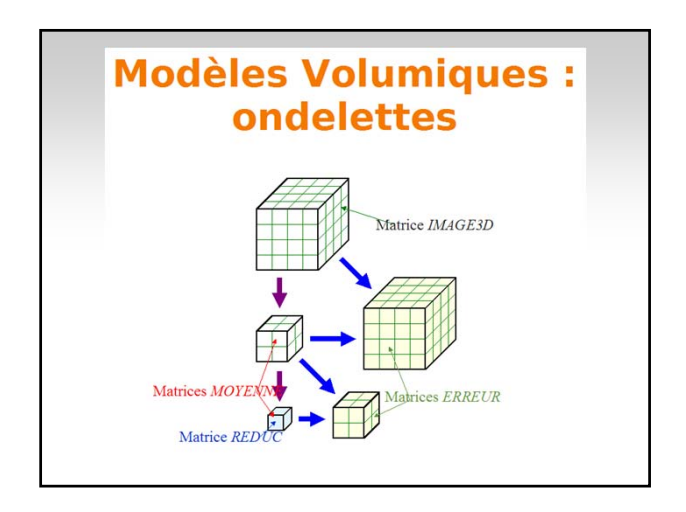


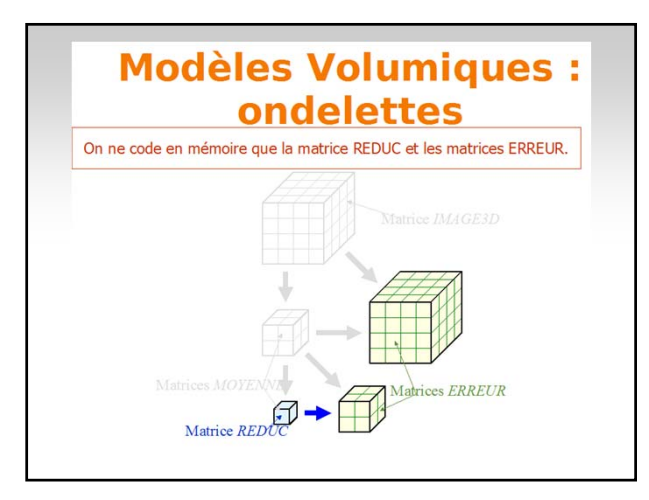


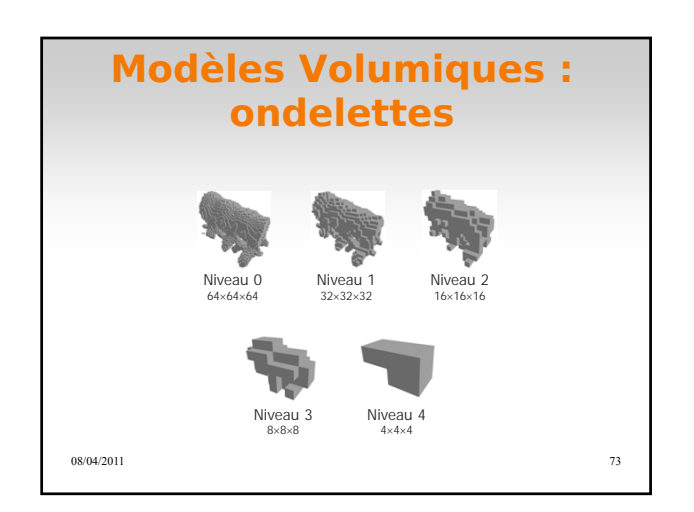


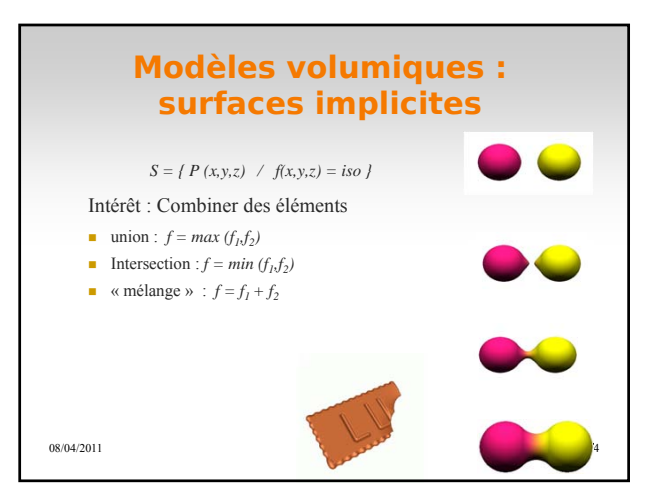


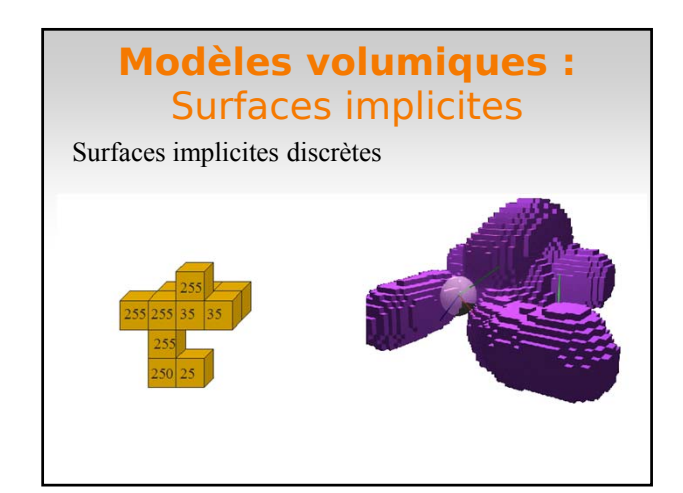


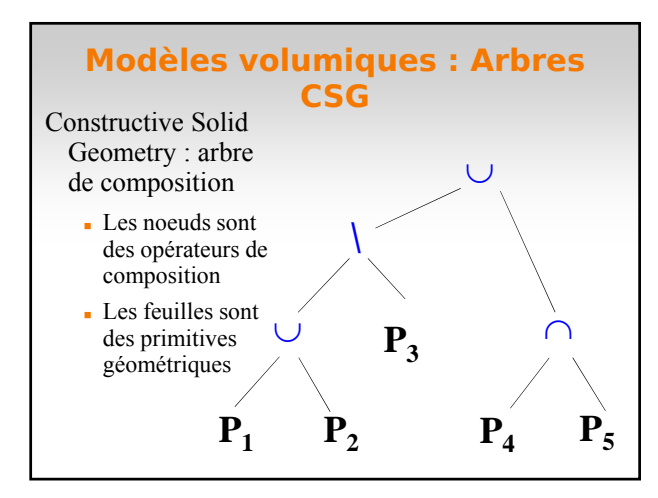


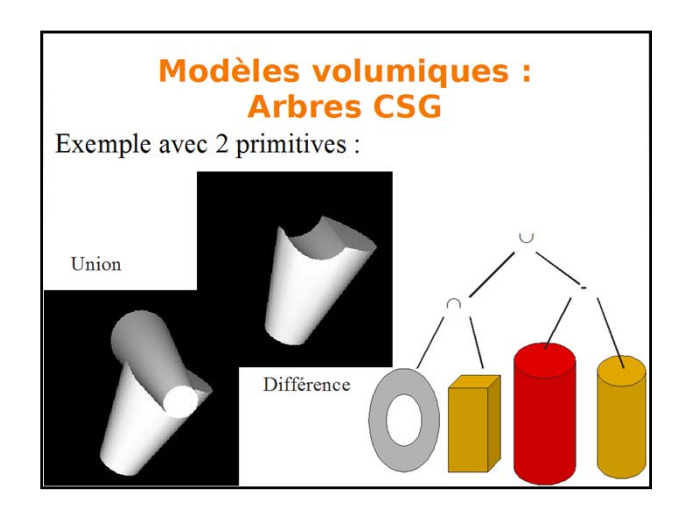


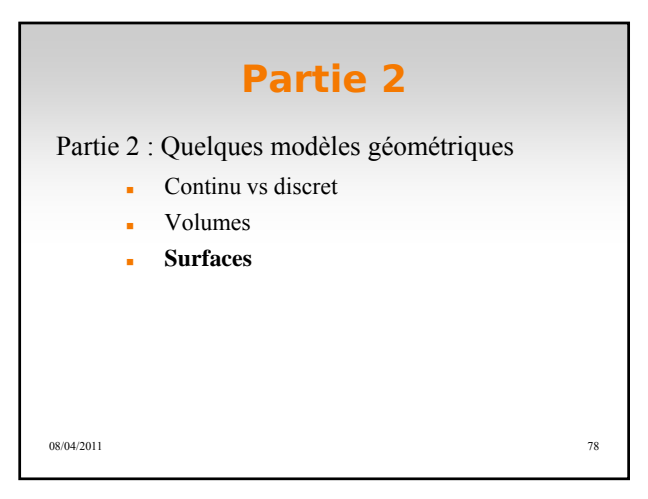


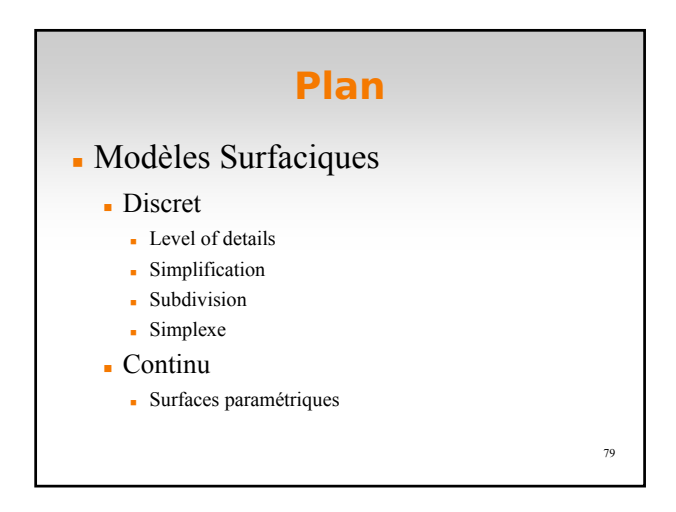


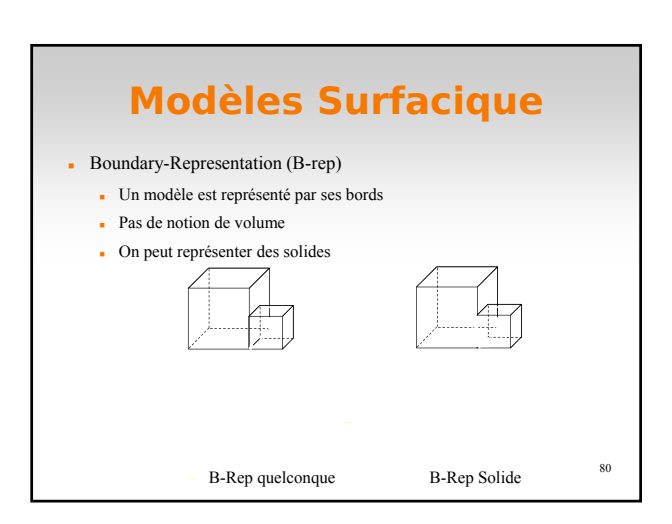








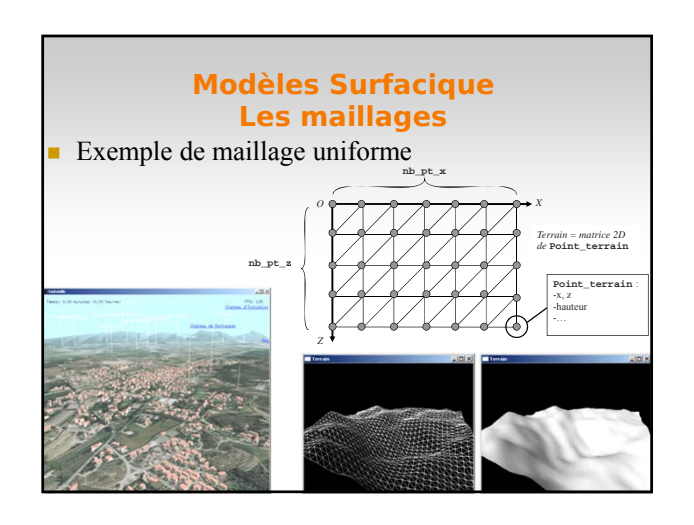




Modèles surfaciques Les maillages

- Un complexe linéaire par morceaux : les surfaces sont représentées avec des polygones. Le simplexe pour une face est le triangle.
- La continuité globale est C⁰ (discontinuité de normales au niveau des arêtes).
- Ils définissent la géométrie tout en donnant une topologie de la surface
- C'est actuellement une structure standard pour afficher des scènes complexes en 3D
- Leur visualisation et leur manipulation est optimisée par la grande majorité des cartes graphiques actuelles.











•Représentations à plusieurs niveaux de détail (LOD: Levels Of Details)



69,451 polys 2,502 p

2,502 polys 251 polys
Courtesy Stanford 3D Scanning Repository

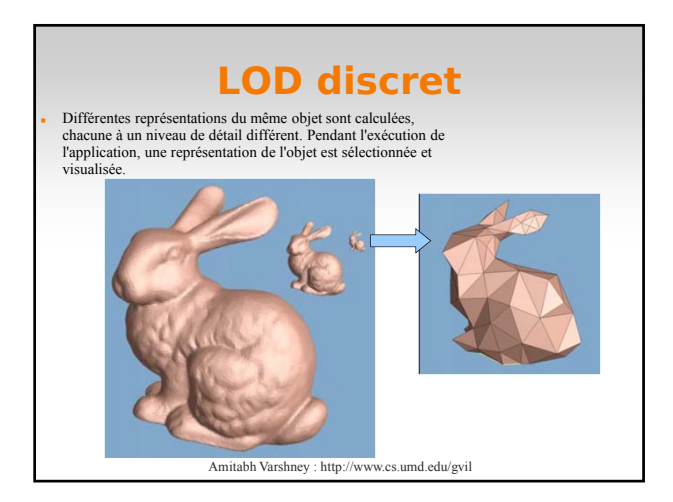
76 polys

08/04/2011

85

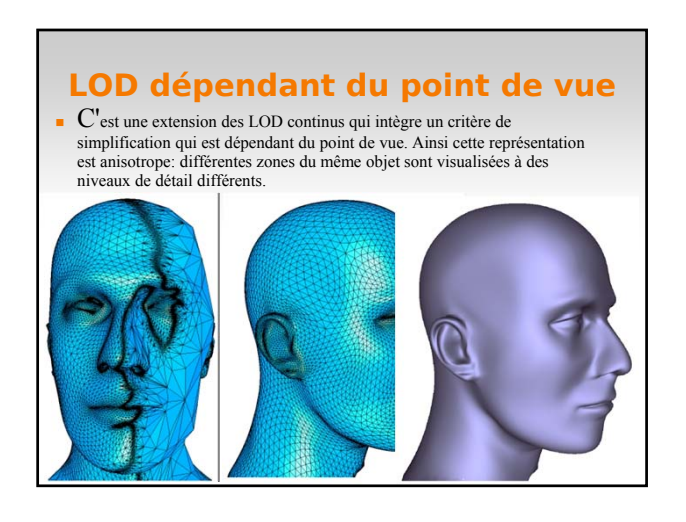
LOD

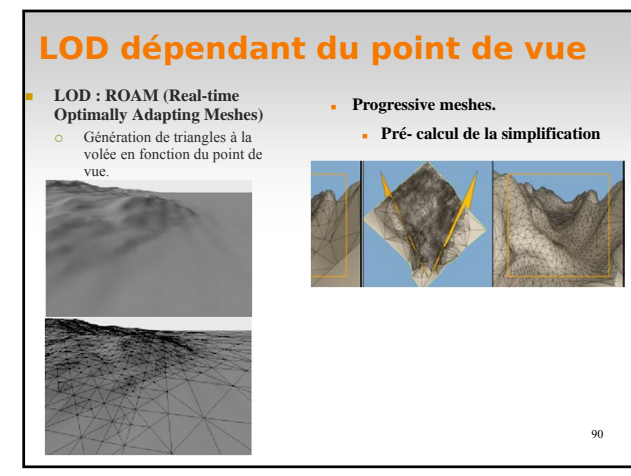
- Agir sur la géométrie des objets
 - Rendu dépendant du point de vue
 - Rendu de scènes comportant un grand nombre d'objets (surtout pour la navigation interactive)
 - · Visualisation de terrains
 - Transmission progressive de la géométrie via le réseau
 - etc
- Trois types de LOD
 - Discret
 - Continu
 - Dépendant du point de vue

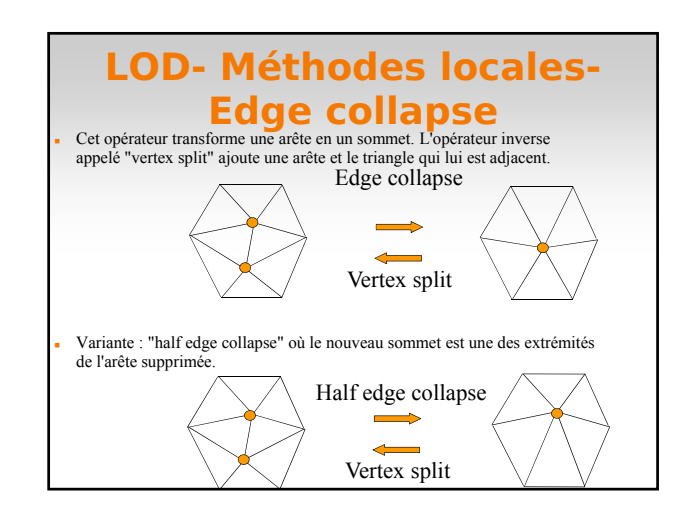


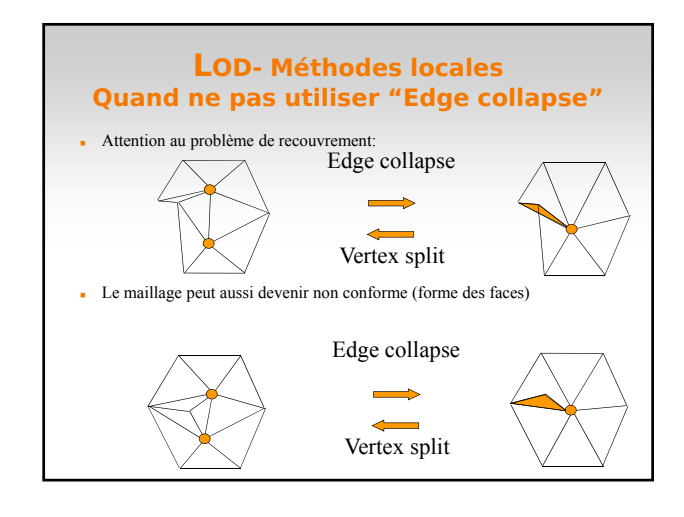
LOD continu

 Une seule structure représentant l'objet avec une représentation continue des détails. On peut adapter la résolution de l'objet au polygone prêt et ainsi utiliser le nombre exact de polygones pour représenter l'objet à la définition souhaitée. La géométrie est modifiée au cours de l'exécution de l'application.







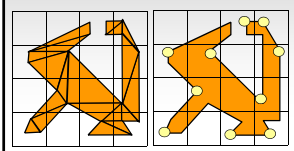


LOD- Méthodes locales Polygon merging

- Plusieurs polygones presque coplanaires et adjacents sont fusionnés en un seul polygone puis le nouveau polygone est triangulé.
 - Cet opérateur généralise "vertex removal" (On enlève un sommet avec ses arêtes adjacentes. Le trou obtenus est alors triangulé.)
 - Il peut être appliqué à un maillage composés de polygones quelconques (pas seulement des triangles).
 - Plusieurs sommets peuvent être éliminés en une seule fois.
 - Peut boucher les trous.

LOD- Méthodes locales Cell Collapse

 Tous les sommets qui sont dans un certain volume (cellule) sont unifiés en un sommet unique.







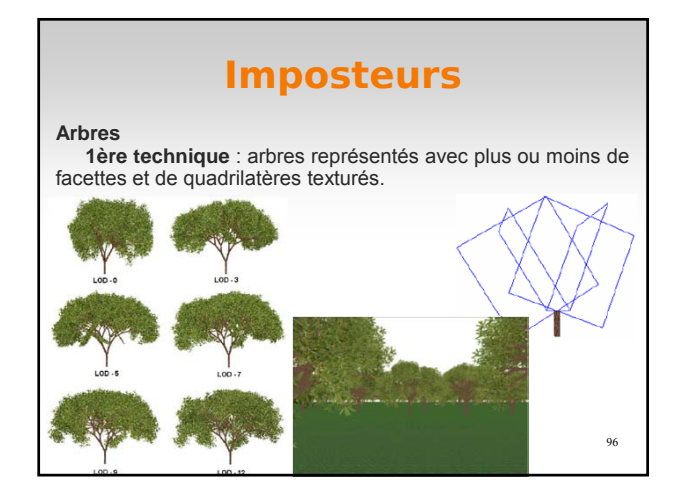
- Les sommets du maillage sont tout d'abord placés dans une grille régulière
- Tous les sommets étant dans une même cellule sont unifiés en un seul
- Tous les triangles qui ont 2 ou 3 de leurs sommets dans une même cellule sont simplifiés en une arête ou un sommet
- C'est un opérateur plus global que les précédents, mais il ne préserve pas la topologie.
 Le niveau de simplification dépend de la résolution de la grille.

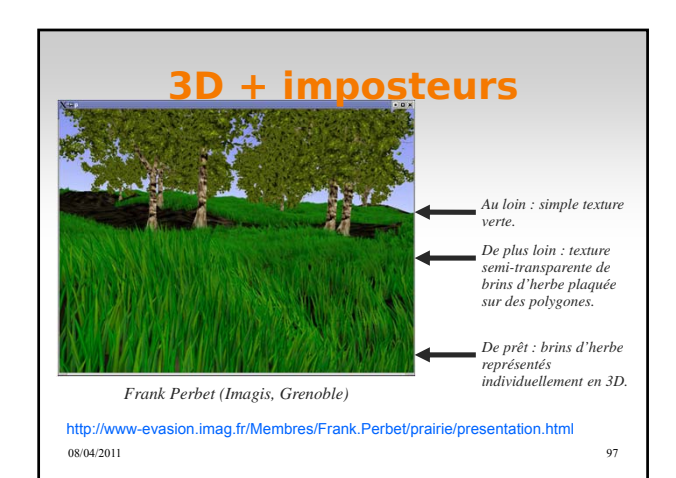
Simplification structurelle d'objets

- Ces méthodes changent la structure de représentation des objets.
- Ex: remplacer un objet polygonal par une boîte englobante texturée à l'aide d'une image produite à partir d'une version détaillée de l'objet.
- LOD ainsi crées = *imposteurs*
- Problèmes :

08/04/2011

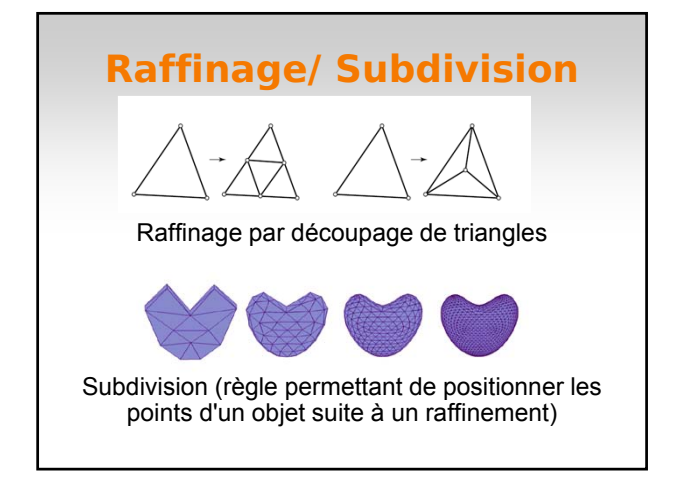
- dépendant souvent du point de vue.
- éclairage.

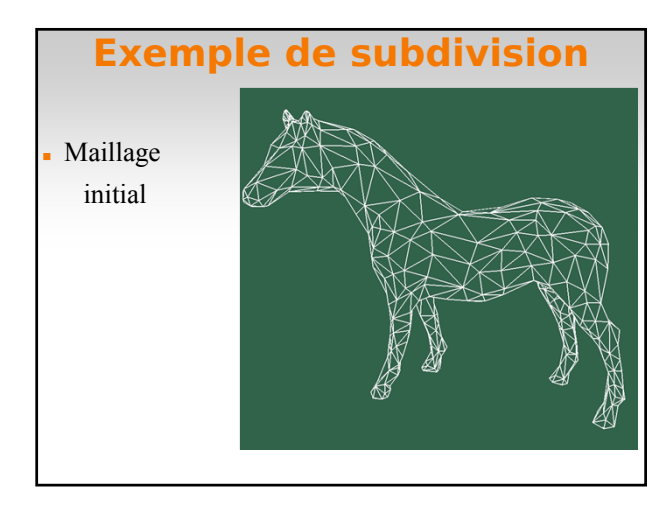


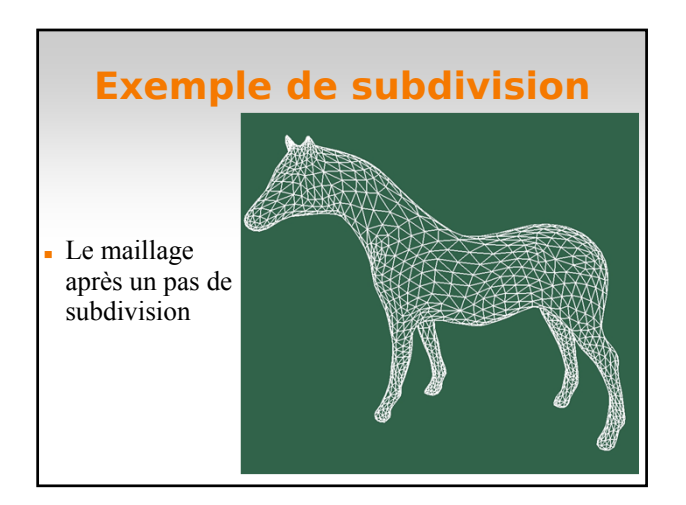


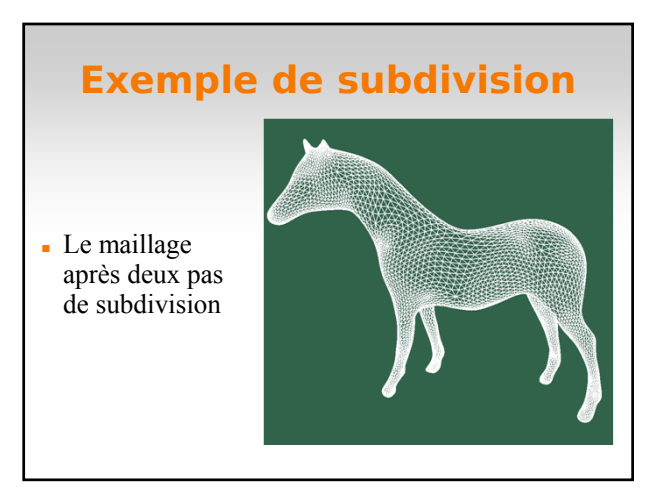
Simplifier ou subdiviser?

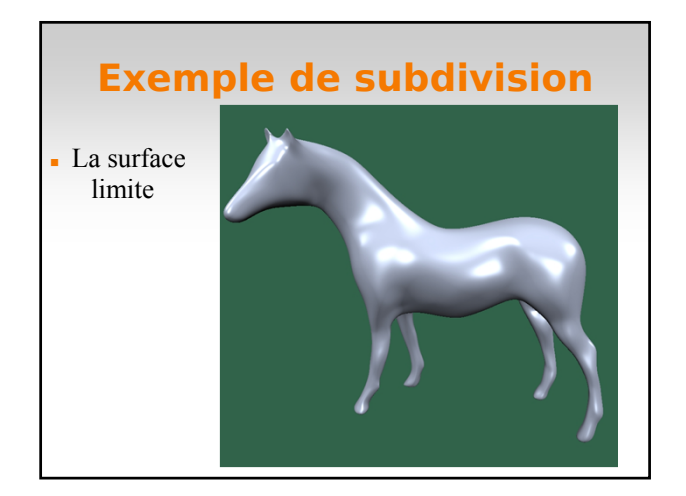
- But : Avoir accès au même objet, mais avec des représentations ayant un nombre différent de polygones. Il s'agit donc de créer une hiérarchie de maillages. Ces hiérarchies peuvent être :
 - "Bottom-top": On part du modèle détaillé (les feuilles de la hiérarchie) et on va jusqu'à la forme la plus simplifiée. <u>Les approches que l'on a vu jusqu'à</u> <u>maintenant, vont dans ce sens.</u>
 - "Top-down": On part de la version simplifiée (la racine) et on ajoute progressivement des détails jusqu'à la représentation la plus fine. Des approches par surfaces de subdivision ou d'ondelettes suivent cette approche.

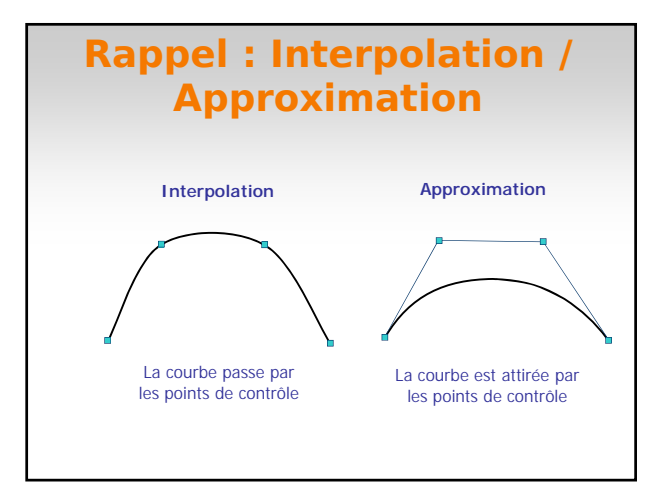




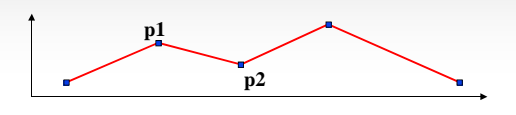








Rappel: Polynômes linéaires par morceaux

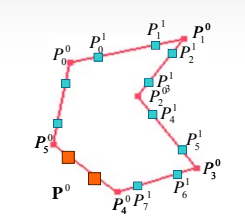


$$p(u) = up_1 + (1 - u)p_2$$

Subdiviser une courbe: L'algorithme de Chaikin

$$P_{2i}^{k+1} = \frac{3}{4} P_i^k + \frac{1}{4} P_{i+1}^k$$

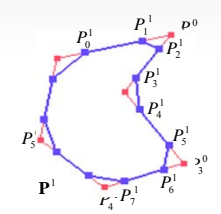
$$P_{2i+1}^{k+1} = \frac{1}{4} P_i^k + \frac{3}{4} P_{i+1}^k$$



Subdiviser une courbe: L'algorithme de Chaikin

$$P_{2i}^{k+1} = \frac{3}{4} P_i^k + \frac{1}{4} P_{i+1}^k$$

$$P_{2i+1}^{k+1} = \frac{1}{4} P_i^k + \frac{3}{4} P_{i+1}^k$$



Subdiviser une courbe: L'algorithme de Chaikin

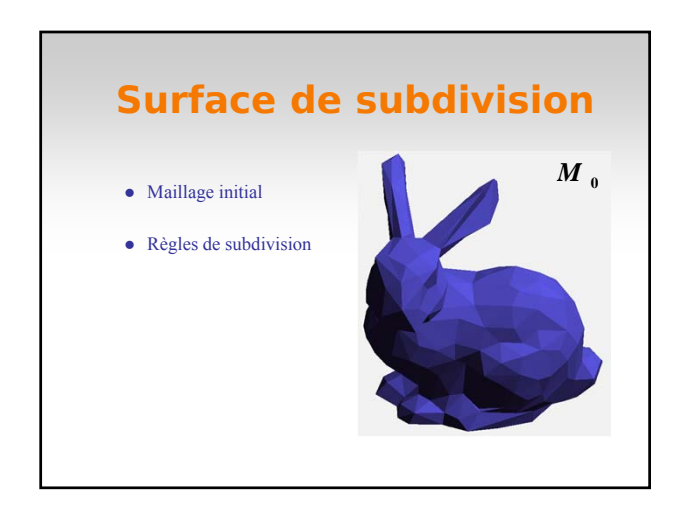
$$P_{2i}^{k+1} = \frac{3}{4} P_i^k + \frac{1}{4} P_{i+1}^k$$

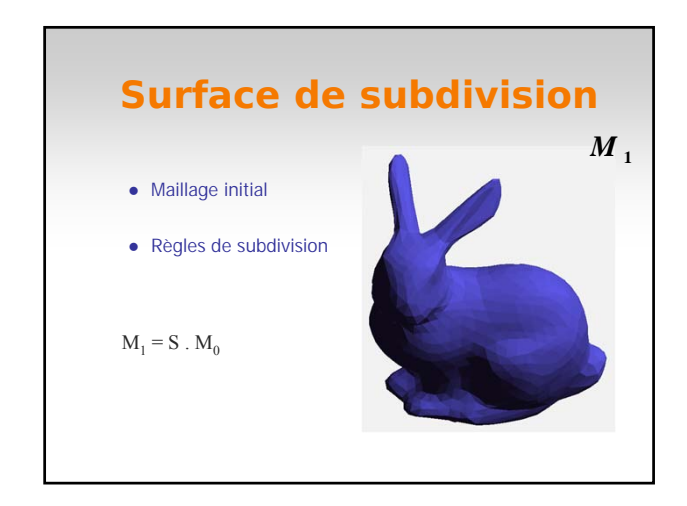
$$P_{2i+1}^{k+1} = \frac{1}{4} P_i^k + \frac{3}{4} P_{i+1}^k$$

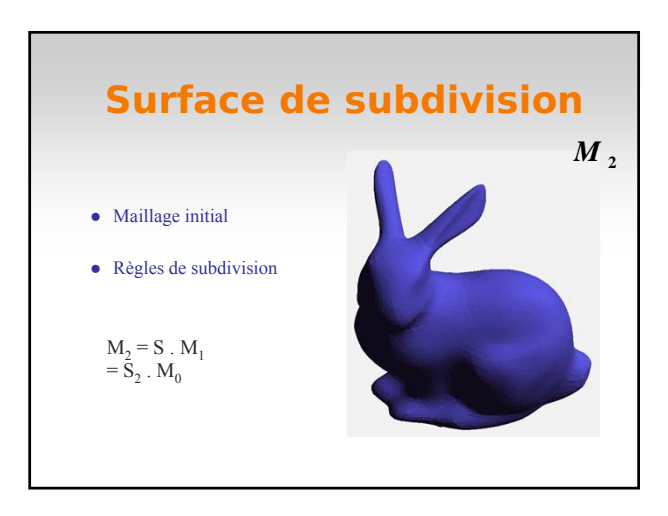
$$P_{2i+1}^{k+1} = \frac{1}{4} P_i^k + \frac{3}{4} P_{i+1}^k$$

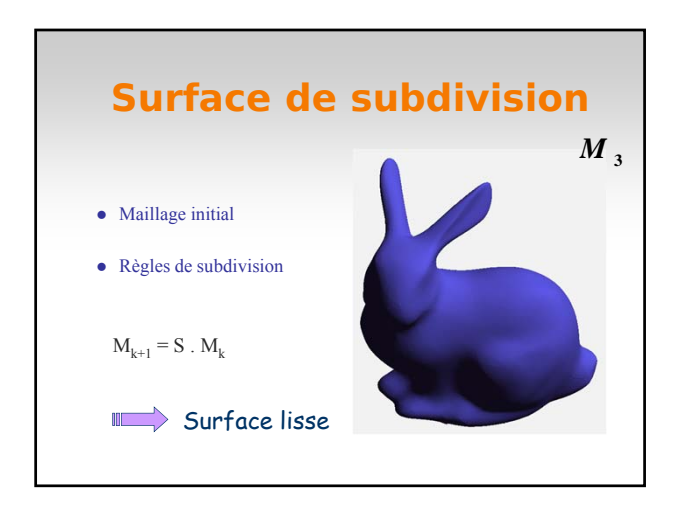


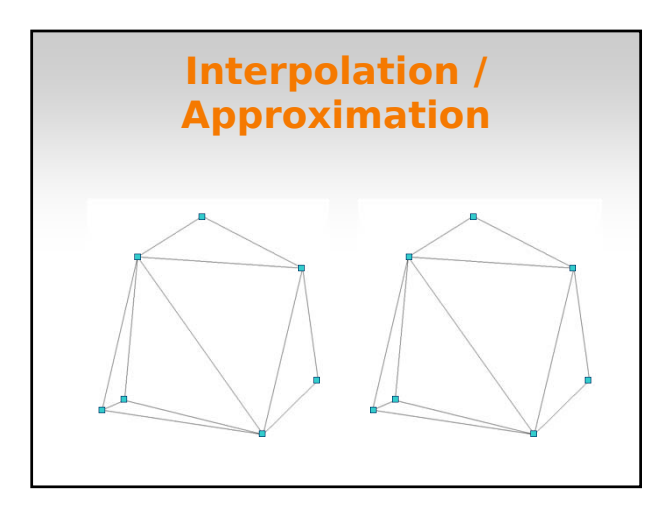
Subdiviser une courbe : L'algorithme de Chaikin $P_{2i}^{k+1} = \frac{3}{4}P_i^k + \frac{1}{4}P_{i+1}^k$ $P_{2i+1}^{k+1} = \frac{1}{4}P_i^k + \frac{3}{4}P_{i+1}^k$ $P_{2i+1}^{k+1} = \frac{1}{4}P_i^k + \frac{3}{4}P_{i+1}^k$

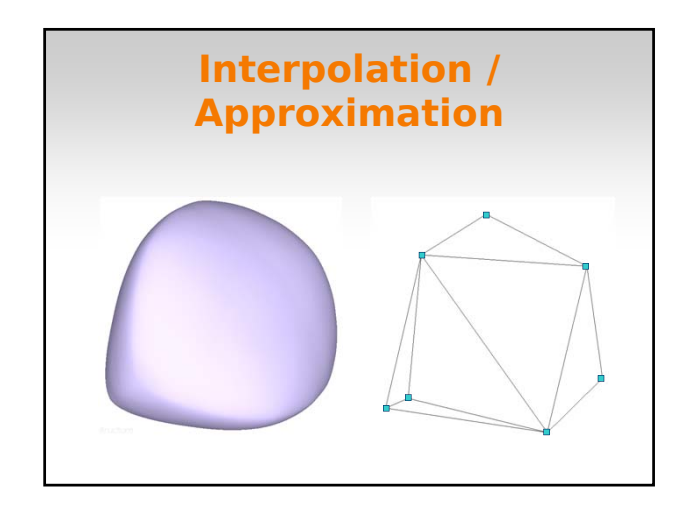


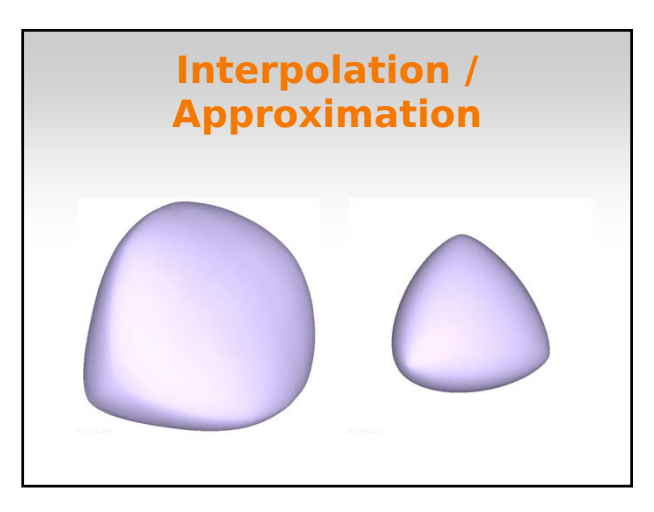






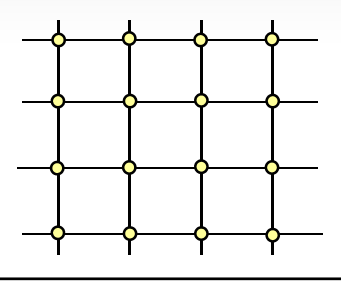






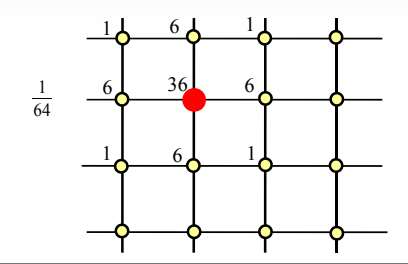
Principe de subdivision

 Généralisation des surfaces paramétriques à des polygones de contrôle quelconque



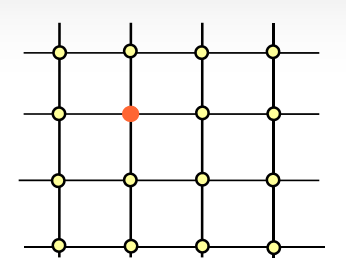
Principe de subdivision

- Généralisation des surfaces paramétriques à des polygones de contrôle quelconque
 - Les sommets sont déplacés par une combinaison affine des sommets du maillage



Principe de subdivision

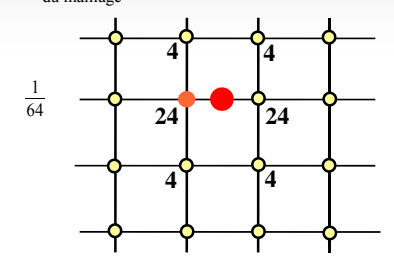
 Généralisation des surfaces paramétriques à des polygones de contrôle quelconque

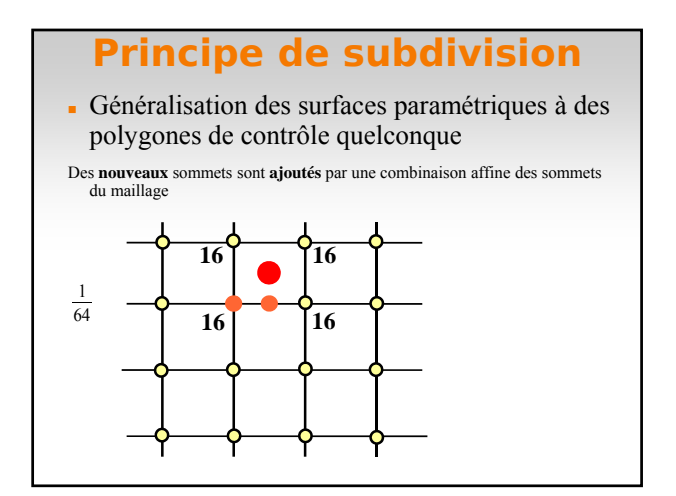


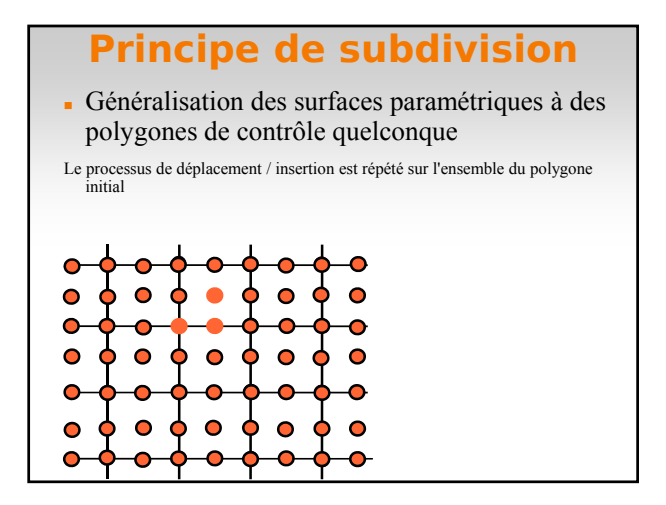
Principe de subdivision

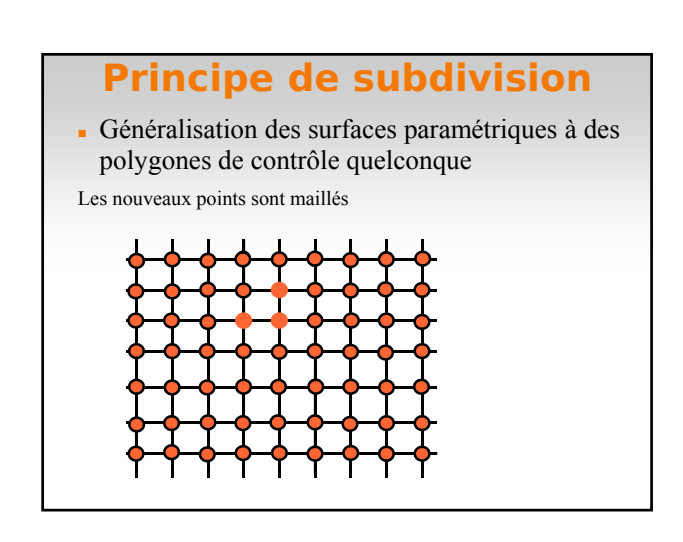
 Généralisation des surfaces paramétriques à des polygones de contrôle quelconque

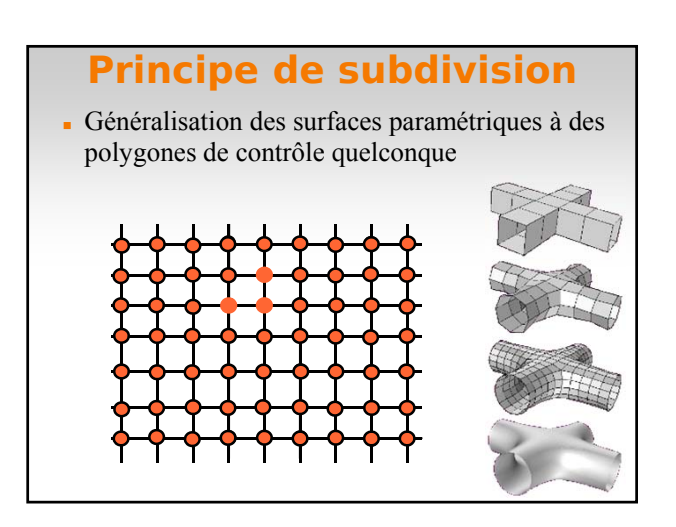
Des **nouveaux** sommets sont **ajoutés** par une combinaison affine des sommets du maillage

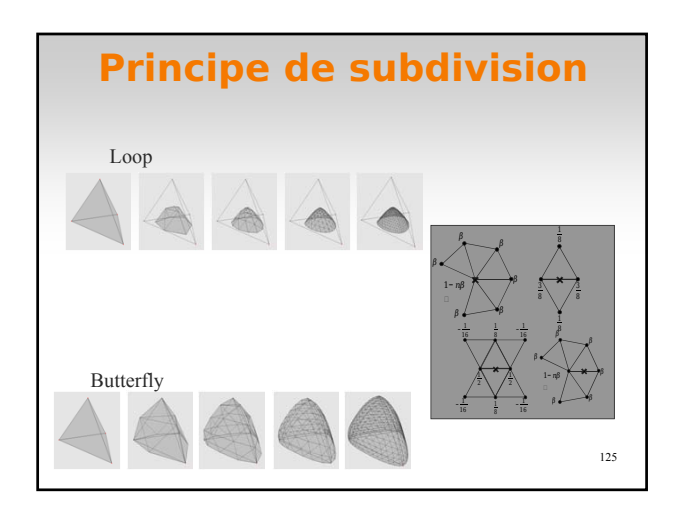


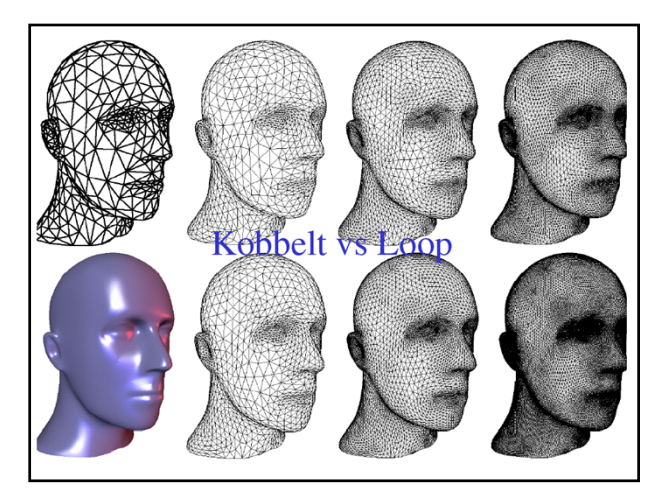












Subdivision adaptative

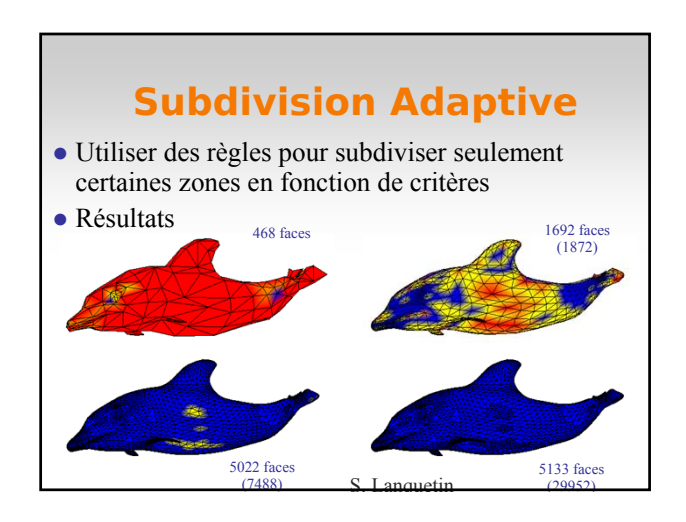
Principe de subdivision adaptive ou nonuniforme :

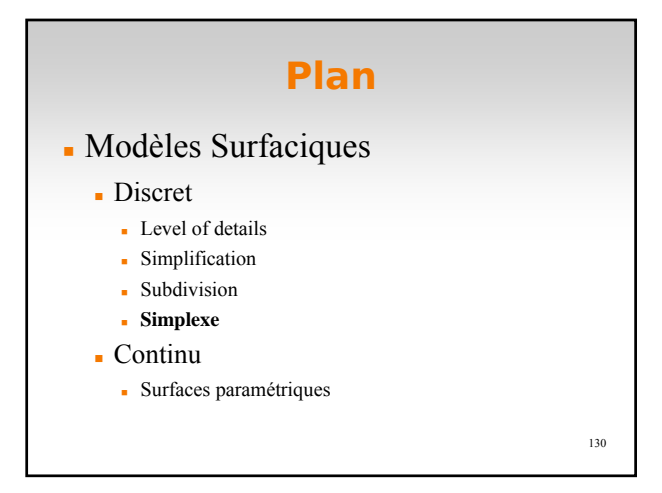
- Où subdiviser ? Critère de subdivision
- Comment subdiviser ? Règles de subdivision

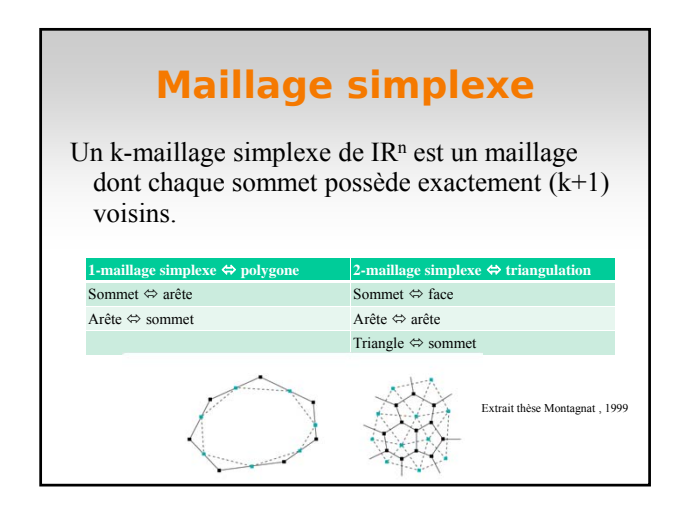
Problème de la subdivision adaptative

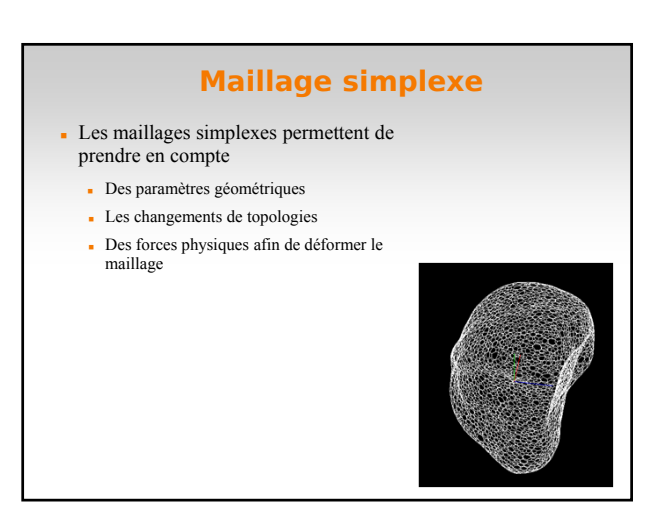


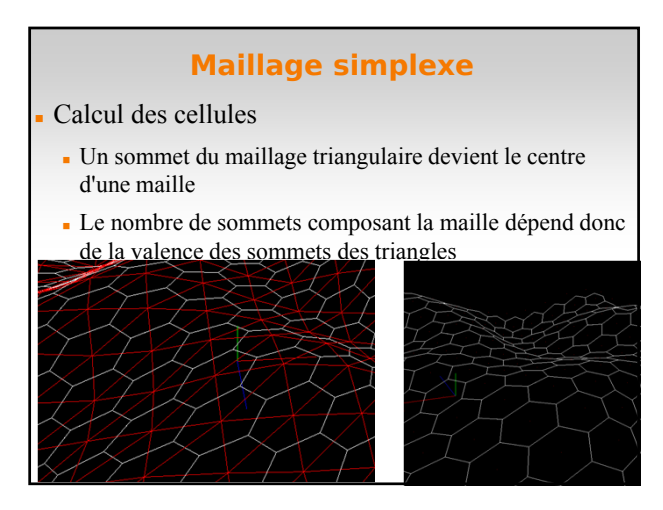
- Éviter les trous
- Générer un "petit" nombre de faces
- Obtenir un maillage progressif

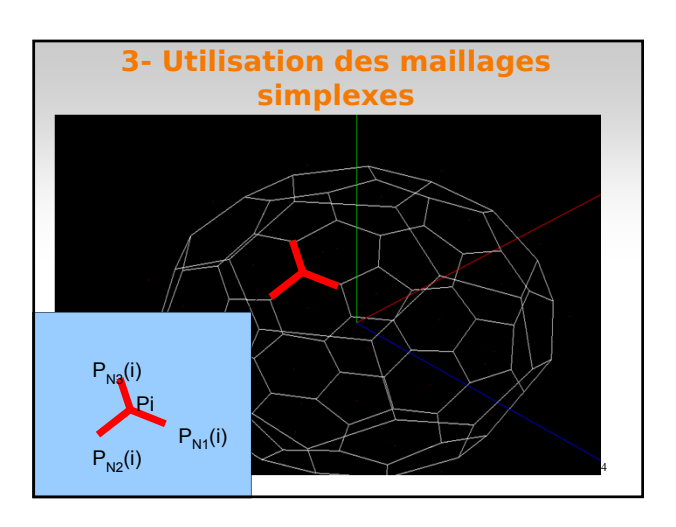






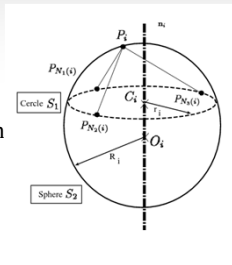






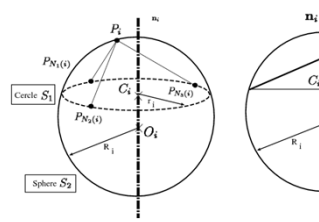
Maillage simplexe

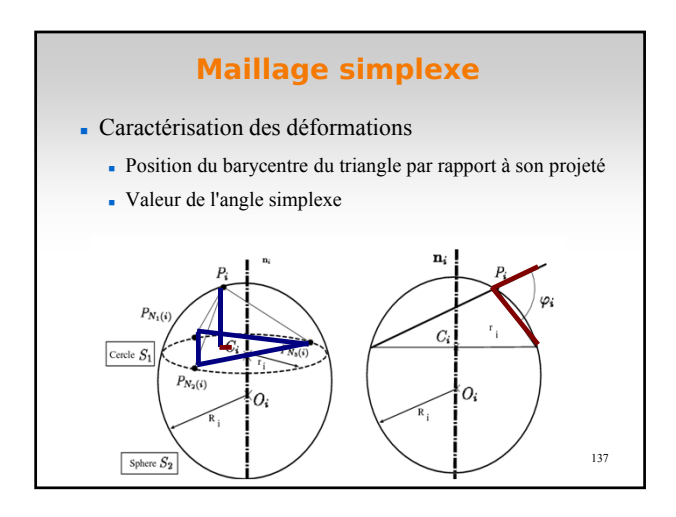
- Pour chaque sommet Pi du maillage simplexe, on stocke
 - Ses voisins N1(i), N2(i), N3(i)
 - Le centre du cercle circonscrit à ses voisins, ainsi que le rayon (ri)
 - Le centre de la sphère circonscrite à ses voisins et au sommet ainsi que le rayon Ri

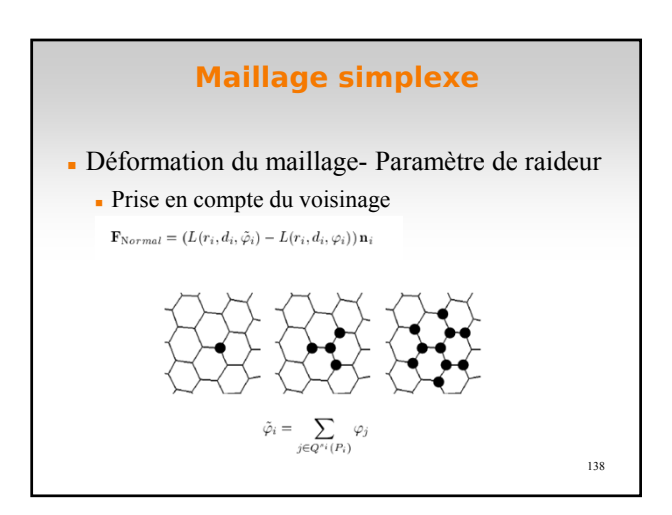


Maillage simplexe

- La position du barycentre du triangle formé par les voisins (N1(i), N2(i), N3(i))
- Le projeté de Pi sur le triangle (N1(i), N2(i), N3(i))
- L'angle simplexe Φi





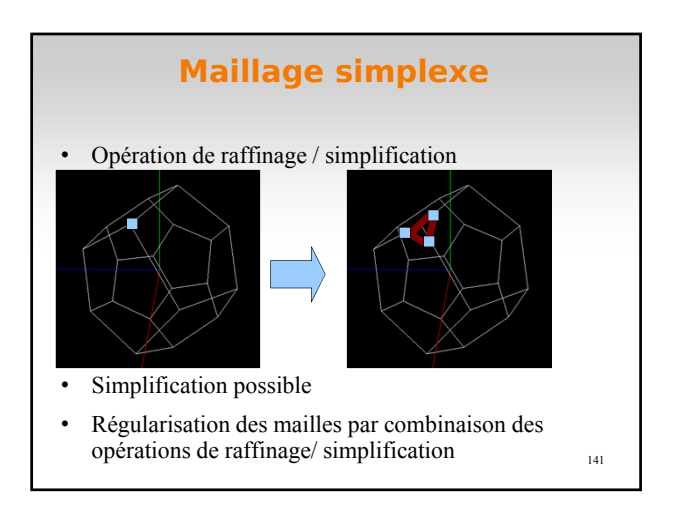


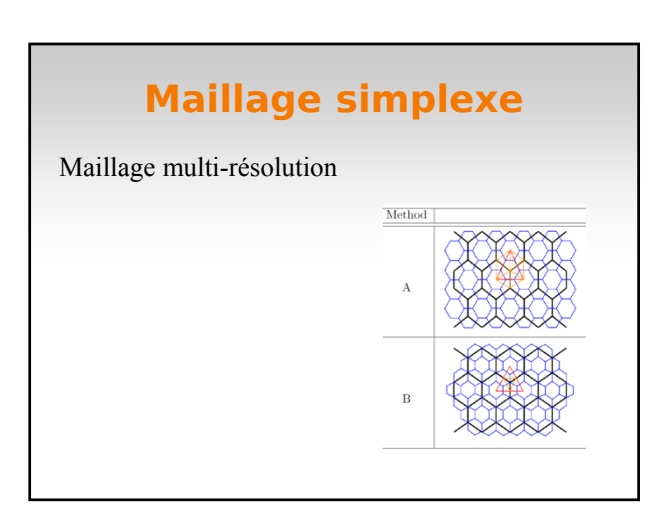
3- Utilisation des maillages simplexes

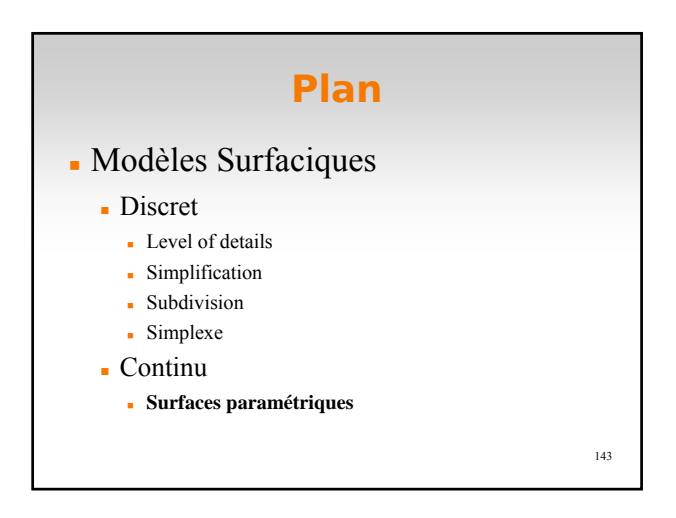
- Opérations de raffinage
 - Possibilité de
 - Raffinage global : on divise toutes les cellules
 - Raffinage local : on sélectionne les cellules en fonction d'un critère
- Opération de simplification de maillage (réduire la taille des mailles
- Opération de régularisation (combiner raffinage et simplification)
- Possibilité de mettre en place une représentation multirésolution

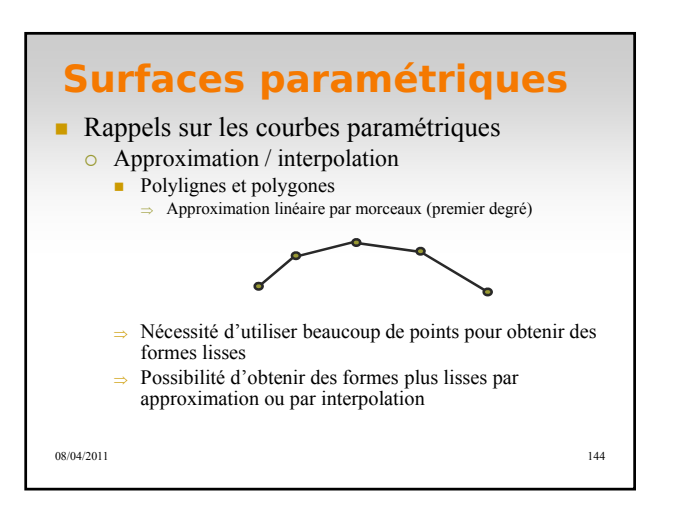
Maillage simplexe

• Opération de raffinage / simplification









Surfaces paramétriques Rappels sur les courbes paramétriques

- o Utiliser une représentation paramétrique

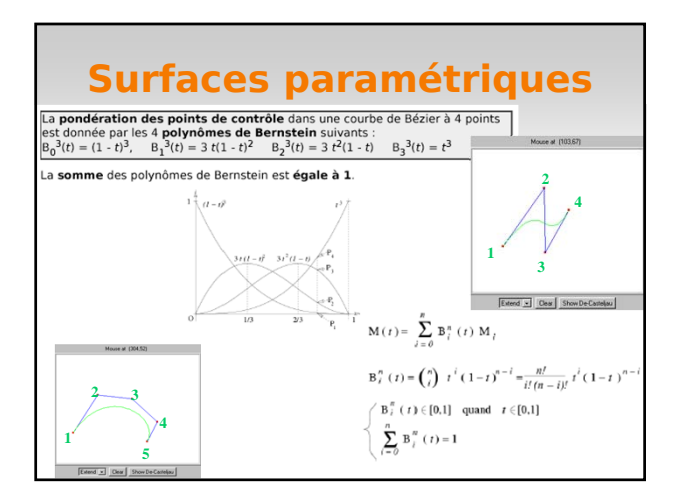
X=f(t)Y=g(t)

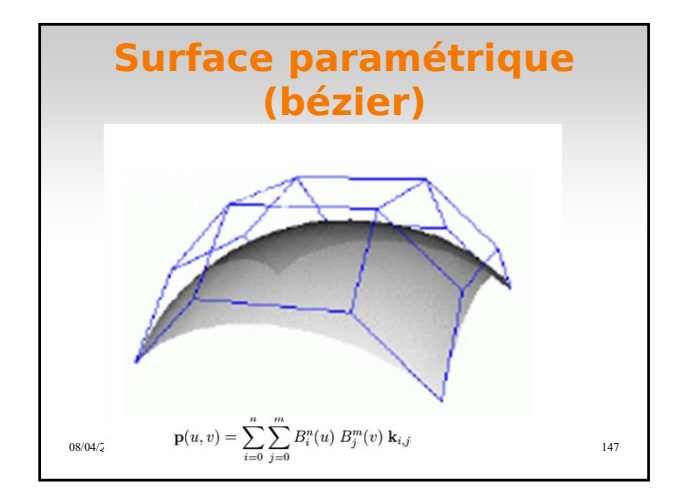
 $|_{Z=h(t)}$

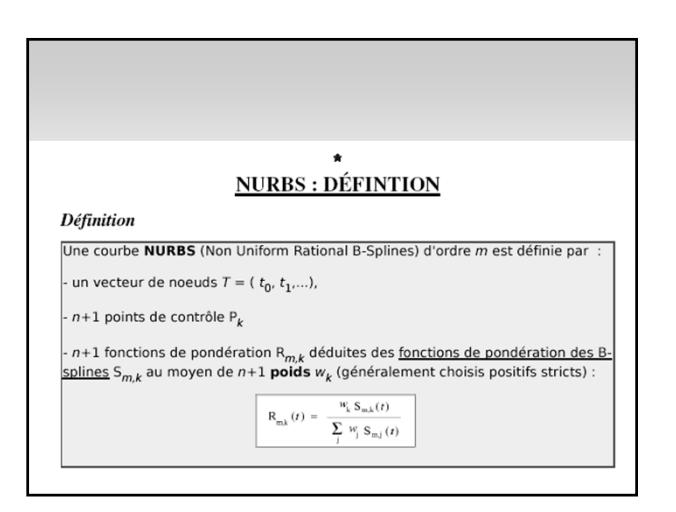
f, g et h sont des polynômes en t

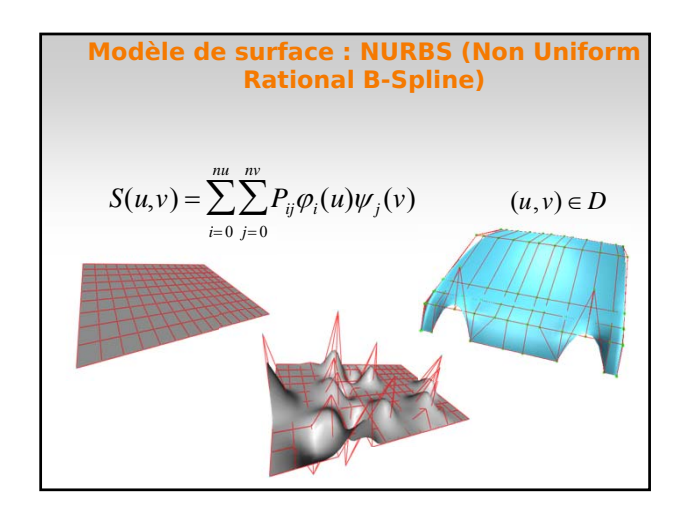
- Exemple: $h(t)=a t^3 + b t^2 + c t + d$
- o Une courbe est approximée par une partie de courbe polynômiale

145 08/04/2011



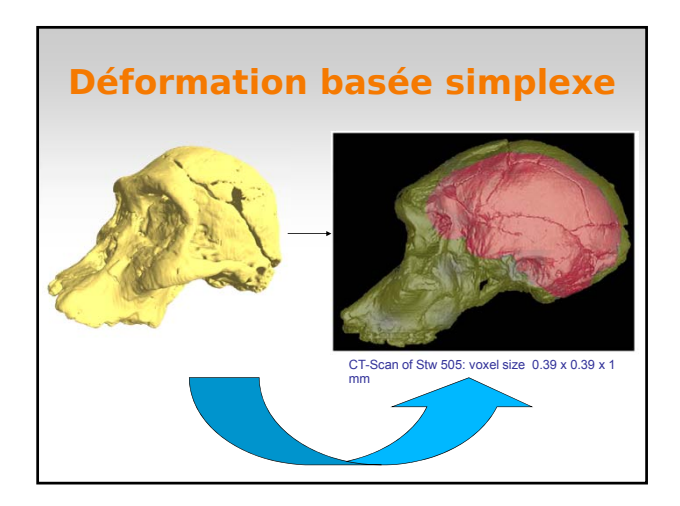


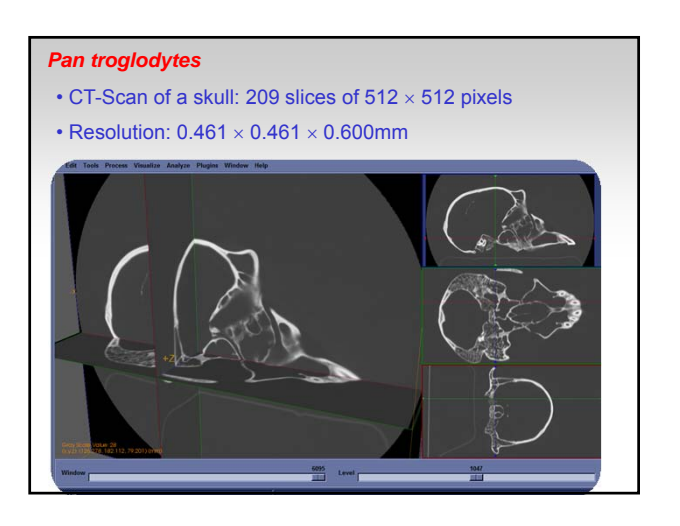


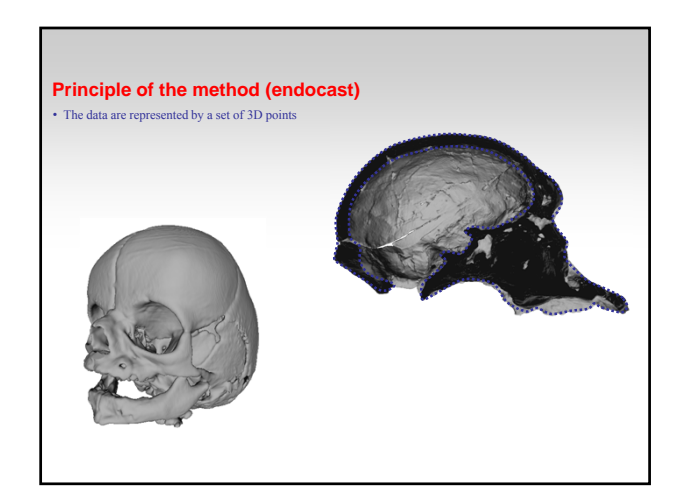


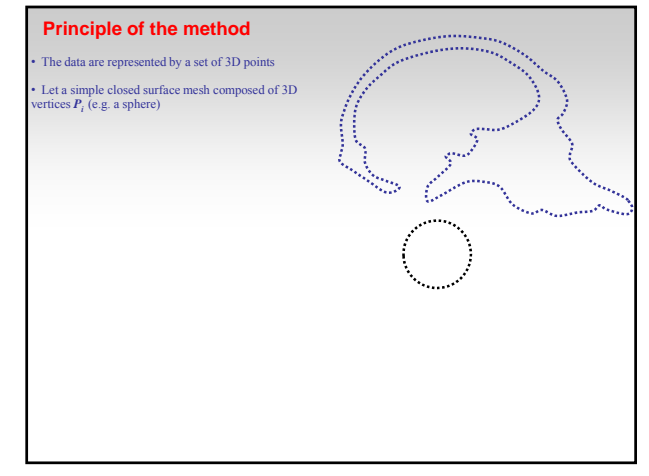
Partie 3

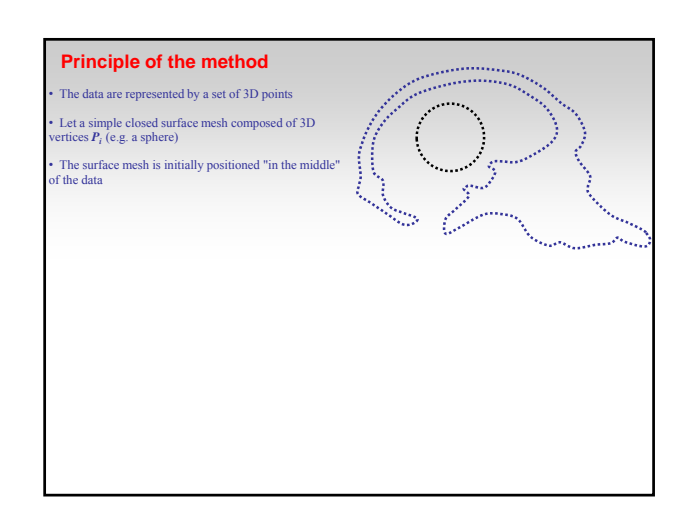
- Déformation de différents modèles
 - Maillage Simplexe
 - Surfaces paramétriques
 - Triangulaire

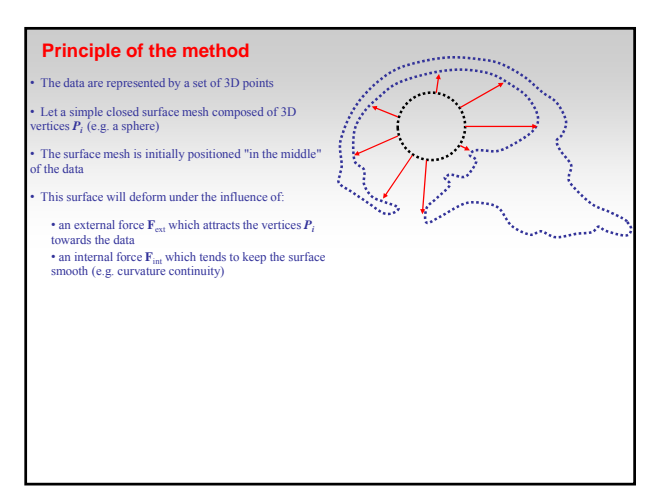












Principle of the method

- The data are represented by a set of 3D points
- Let a simple closed surface mesh composed of 3D vertices P_i (e.g. a sphere)
- The surface mesh is initially positioned "in the middle" of the data
- This surface will deform under the influence of:
- ${}^{\bullet}$ an external force ${\bf F}_{\rm ext}$ which attracts the vertices ${\bf P}_i$ towards the data
- an internal force $\mathbf{F}_{\rm int}$ which tends to keep the surface smooth (e.g. curvature continuity)



$$P_i^{t+1} = P_i^t + (1-\gamma)(P_i^t - P_i^{t-1}) + \alpha_i \mathbf{F}_{int} + \beta_i \mathbf{F}_{ext}$$

Principle of the method

- The data are represented by a set of 3D points
- Let a simple closed surface mesh composed of 3D vertices P_i (e.g. a sphere)
- The surface mesh is initially positioned "in the middle" of the data
- This surface will deform under the influence of:

 - * an internal force \mathbf{F}_{int} which tends to keep the surface smooth (e.g. curvature continuity)



$$P_i^{t+1} = P_i^t + (1 - \gamma)(P_i^t - P_i^{t-1}) + \alpha_i \mathbf{F}_{int} + \beta_i \mathbf{F}_{ext}$$

Iterate the process until the vertices P_i do not move anymore.

Principle of the method

- The data are represented by a set of 3D points
- Let a simple closed surface mesh composed of 3D vertices P_i (e.g. a sphere)
- The surface mesh is initially positioned "in the middle" of the data
- This surface will deform under the influence of:
- - \bullet an external force $\mathbf{F}_{\mathrm{ext}}$ which attracts the vertices \boldsymbol{P}_i towards the data
- $\label{eq:wards} \mbox{wards the data}$ an internal force $\mathbf{F}_{\rm int}$ which tends to keep the surface smooth (e.g. curvature continuity)



$$P_i^{t+1} = P_i^t + (1 - \gamma)(P_i^t - P_i^{t-1}) + \alpha_i \mathbf{F}_{int} + \beta_i \mathbf{F}_{ext}$$

Iterate the process until the vertices P_i do not move anymore.

Principle of the method

- The data are represented by a set of 3D points
- Let a simple closed surface mesh composed of 3D vertices P_i (e.g. a sphere)
- The surface mesh is initially positioned "in the middle" of the data
- This surface will deform under the influence of:
- - an external force $\mathbf{F}_{\mathrm{ext}}$ which attracts the vertices \mathbf{P}_i towards the data
- towards the data an internal force $\mathbf{F}_{\mathrm{int}}$ which tends to keep the surface smooth (e.g. curvature continuity)



$$P_i^{t+1} = P_i^t + (1 - \gamma)(P_i^t - P_i^{t-1}) + \alpha_i \mathbf{F}_{int} + \beta_i \mathbf{F}_{ext}$$

Iterate the process until the vertices P_i do not move anymore.

Principle of the method

- The data are represented by a set of 3D points
- Let a simple closed surface mesh composed of 3D vertices P_i (e.g. a sphere)
- The surface mesh is initially positioned "in the middle" of the data
- This surface will deform under the influence of:
- \bullet an external force $\mathbf{F}_{\mathrm{ext}}$ which attracts the vertices \mathbf{P}_i towards the data
- an internal force $\mathbf{F}_{\mathrm{int}}$ which tends to keep the surface smooth (e.g. curvature continuity)



$$P_i^{t+1} = P_i^t + (1 - \gamma)(P_i^t - P_i^{t-1}) + \alpha_i \mathbf{F}_{int} + \beta_i \mathbf{F}_{ext}$$

Iterate the process until the vertices P_i do not move anymore.

Principle of the method

- The data are represented by a set of 3D points
- Let a simple closed surface mesh composed of 3D vertices P_i (e.g. a sphere)
- The surface mesh is initially positioned "in the middle" of the data
- This surface will deform under the influence of:
 - ${}^{\bullet}$ an external force $\mathbf{F}_{\mathrm{ext}}$ which attracts the vertices \mathbf{P}_i towards the data
 - an internal force $\mathbf{F}_{\mathrm{int}}$ which tends to keep the surface smooth (e.g. curvature continuity)



$$P_i^{t+1} = P_i^t + (1 - \gamma)(P_i^t - P_i^{t-1}) + \alpha_i \mathbf{F}_{int} + \beta_i \mathbf{F}_{ext}$$

- Iterate the process until the vertices P_i do not move anymore.
- Eventually, add more vertices in the mesh when the distance between the existing vertices becomes too large in order to recover the details.

Principle of the method

- The data are represented by a set of 3D points
- Let a simple closed surface mesh composed of 3D vertices P_i (e.g. a sphere)
- The surface mesh is initially positioned "in the middle" of the data
- This surface will deform under the influence of:
- \bullet an external force $\mathbf{F}_{\mathrm{ext}}$ which attracts the vertices \boldsymbol{P}_i towards the data towards the data • an internal force \mathbf{F}_{int} which tends to keep the surface smooth (e.g. curvature continuity)



 $P_i^{t+1} = P_i^t + (1-\gamma)(P_i^t - P_i^{t-1}) + \alpha_i \mathbf{F}_{int} + \beta_i \mathbf{F}_{ext}$ Iterate the process until the vertices ${\it P}_i$ do not move anymore.

Eventually, add more vertices in the mesh when the distance between the existing vertices becomes too large in order to recover the details.



Résultats : Projet Morphine 3D : G. Subsol

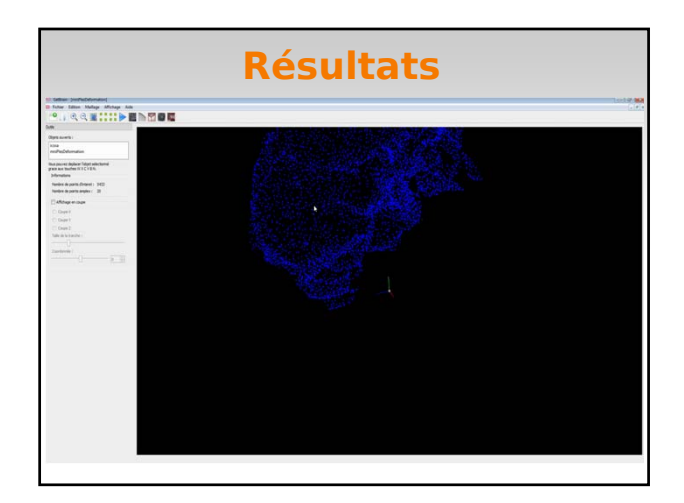


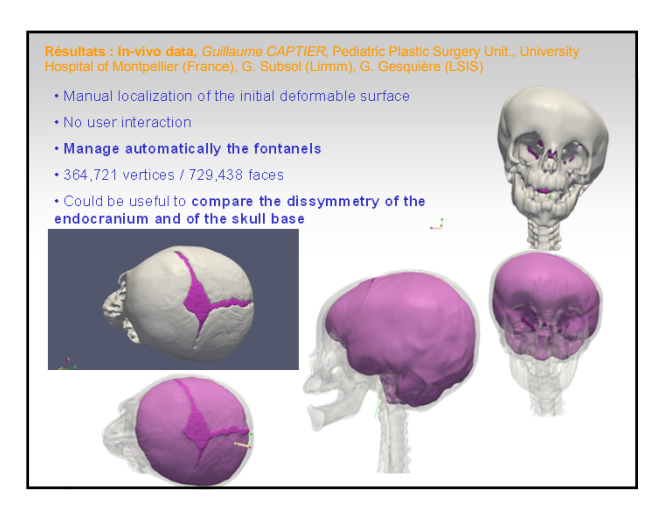
- Environ 2 heures de calcul - 250 000 points

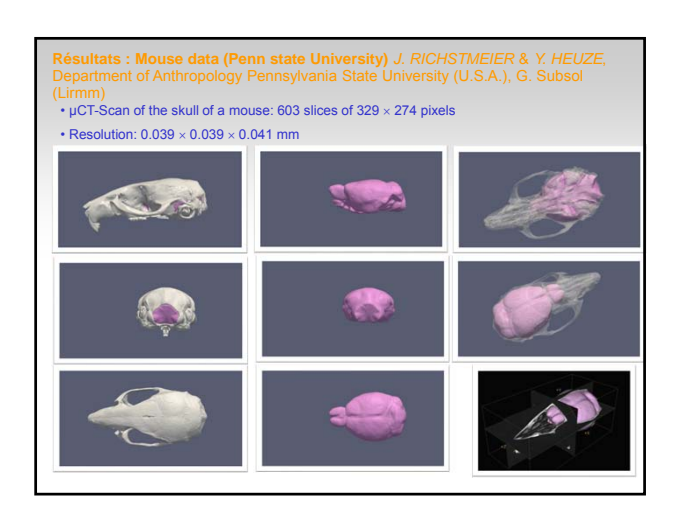
d'intérêts - 304 372 points

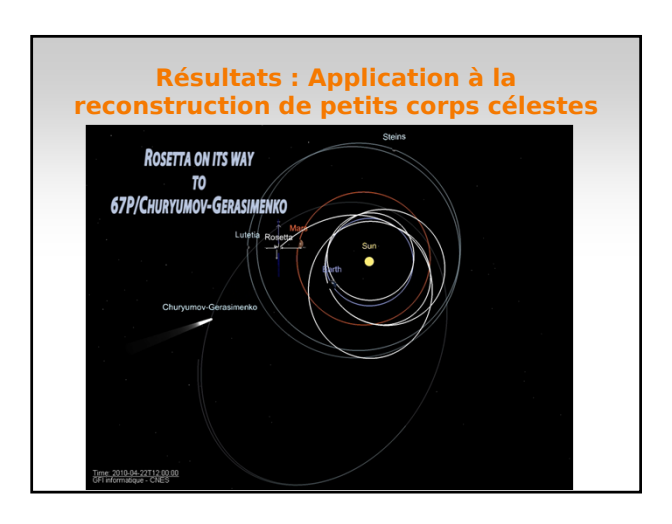
simplexes

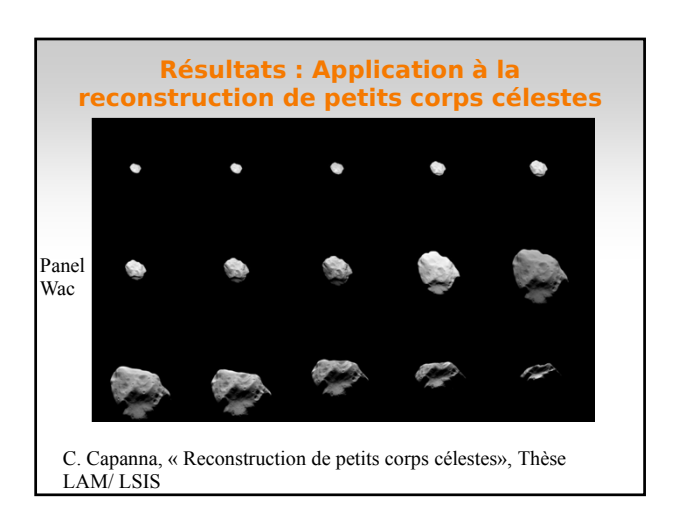
164











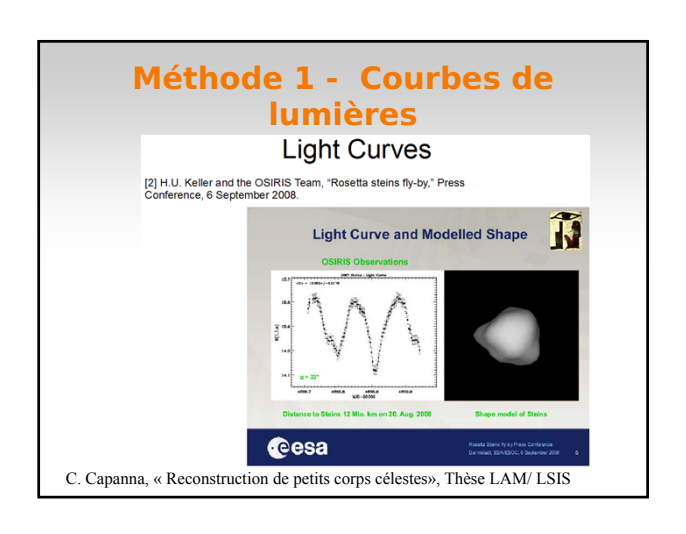
Résultats : Application à la reconstruction de petits corps célestes

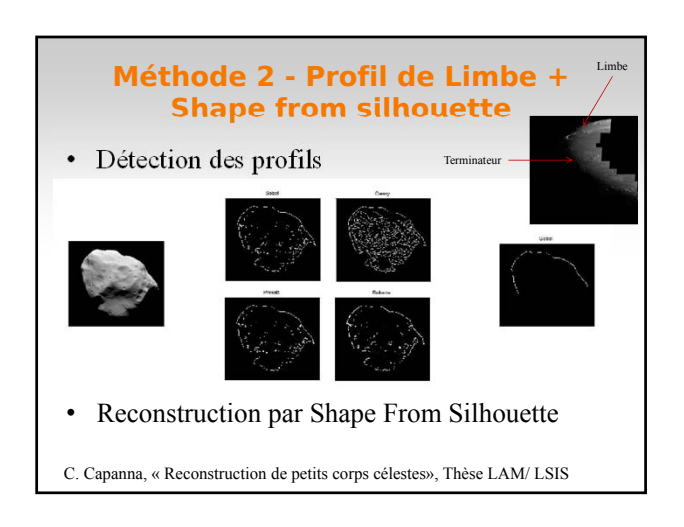
- Méthode de reconstruction 3D
 - Méthode 1 Courbes de lumières
 - Méthode 2 Profil de Limbe + Shape from silhouette
 - Méthode 3 Points de contrôles obtenus par Stéréo
 - Méthode 4 Stéréophotoclinométrie
- Couplage de ces méthodes avec un modèle déformable basé sur un maillage simplexe

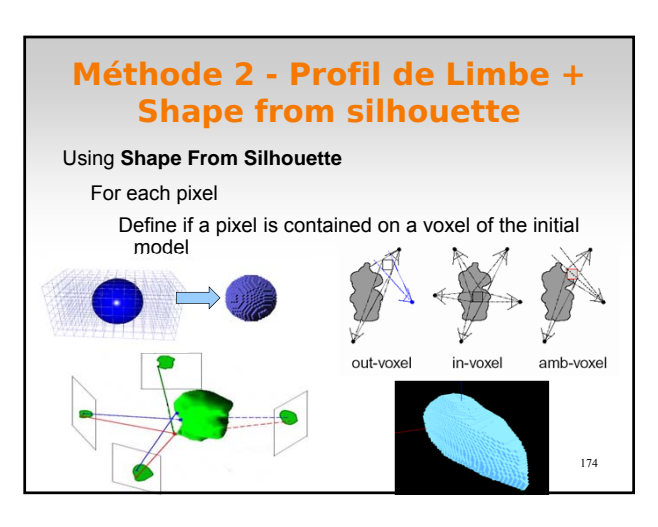
C. Capanna, « Reconstruction de petits corps célestes», Thèse LAM/ LSIS

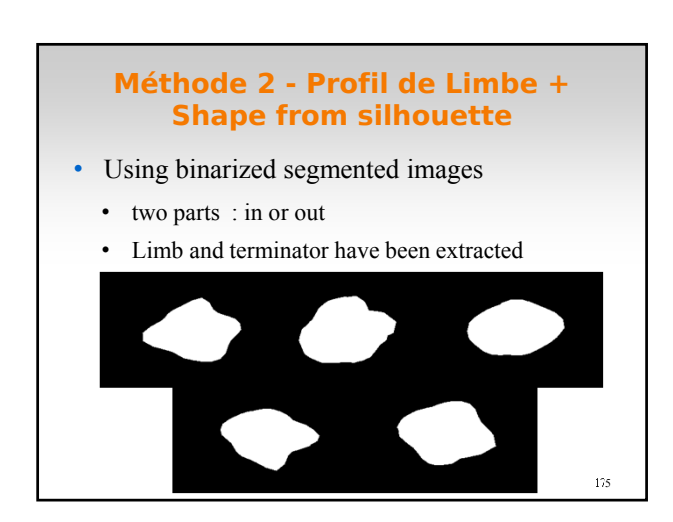
170

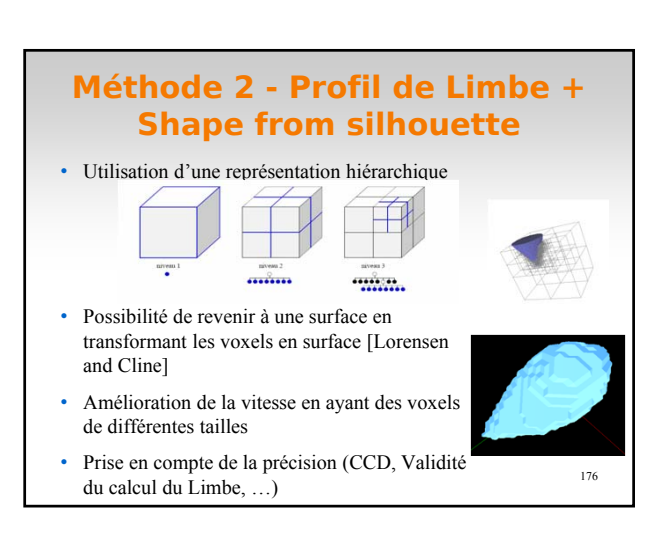
Méthode 1 - Courbes de lumières Light Curves Astrophysics : repeated or long term ground observations Light intensity measured → Curve (function of time) [1] Computer experiments of the light-curve simulations and modeling from http://www.konkoly.hu/statil/kollatin/thefirst.html Time between peaks ↔ Rotational period of the object. Amplitude of the light curve ↔ Shape of the object C. Capanna, « Reconstruction de petitis corps célestes», Thèse LAM/ LSIS



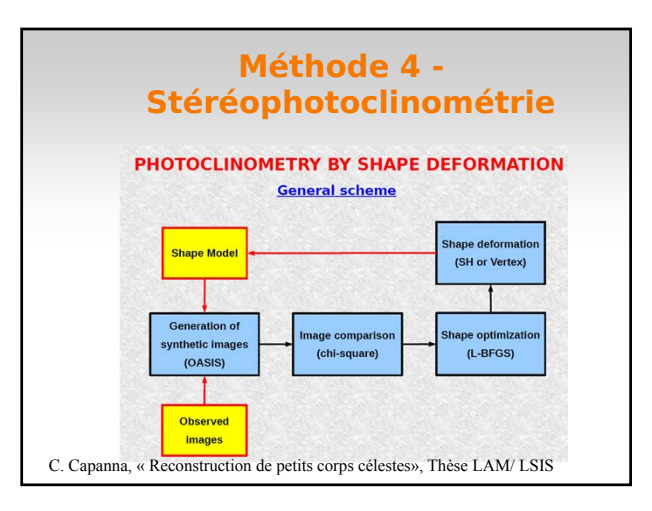


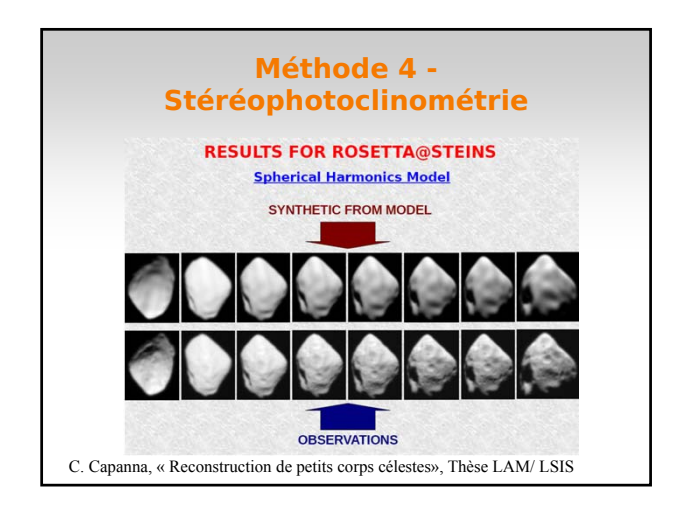


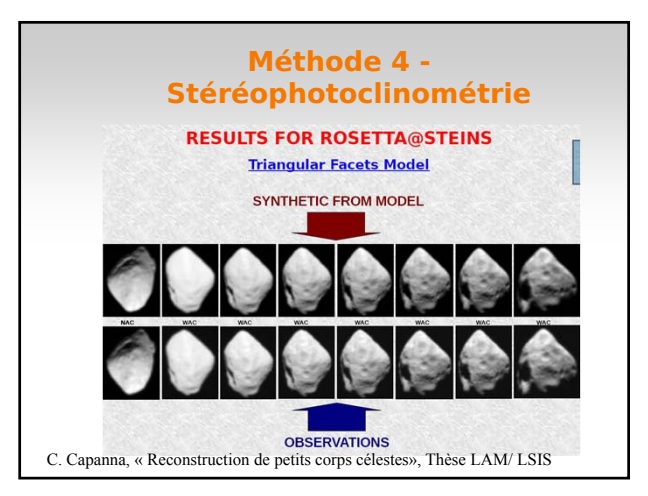


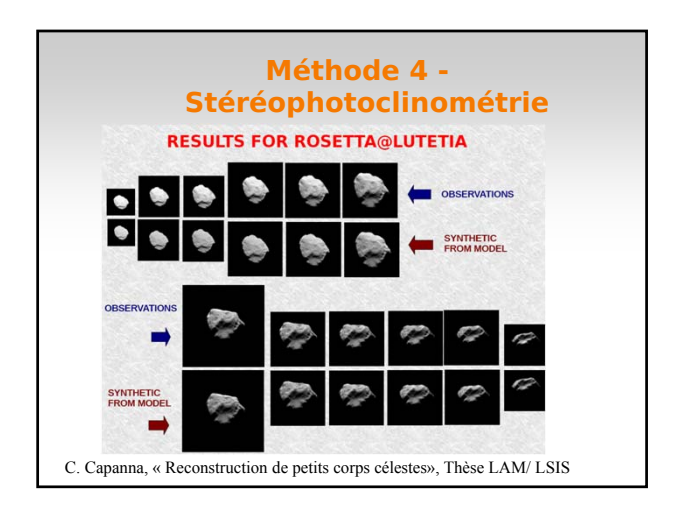


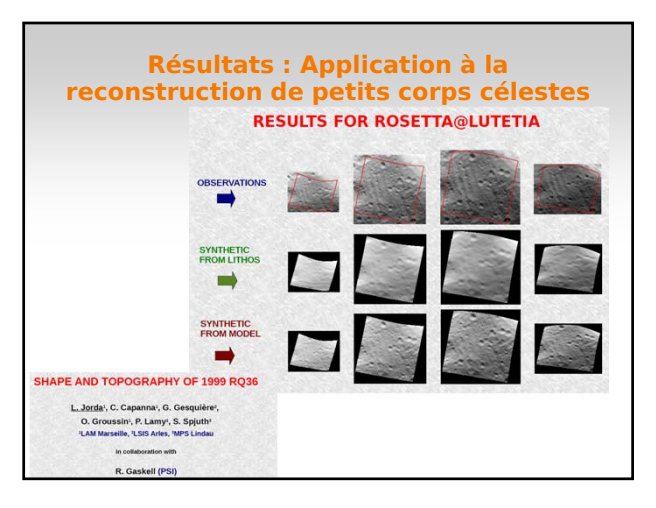


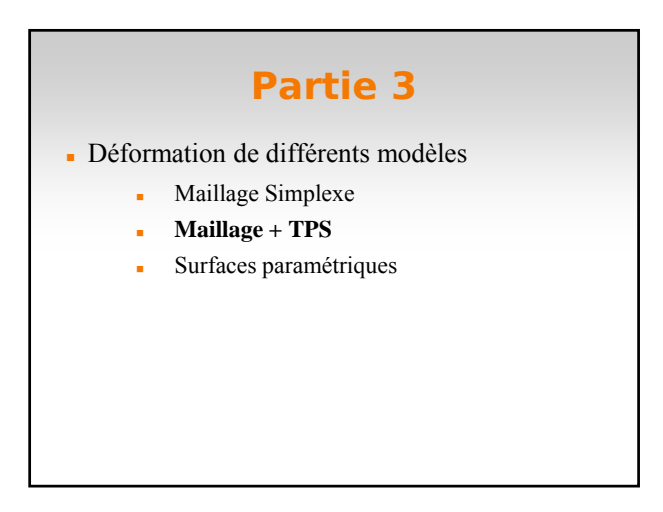


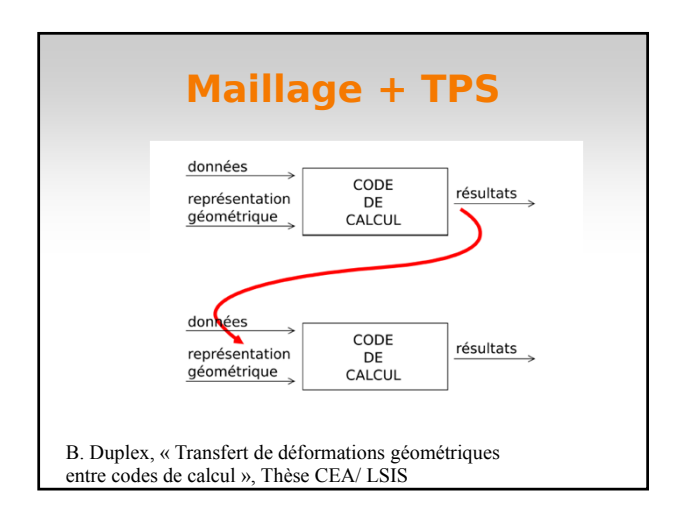


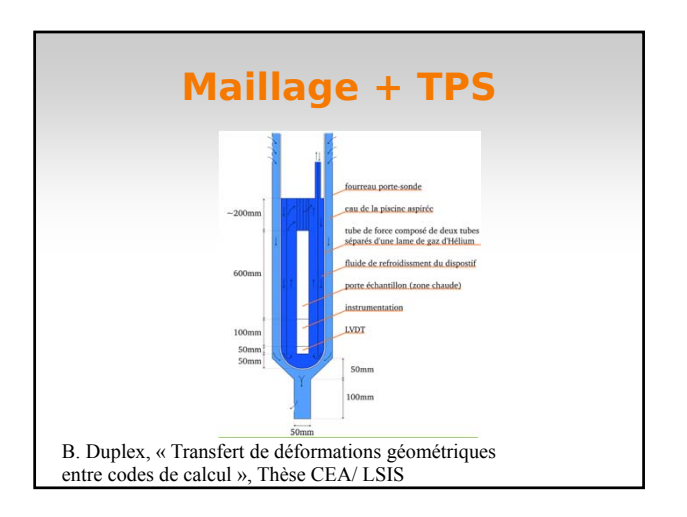






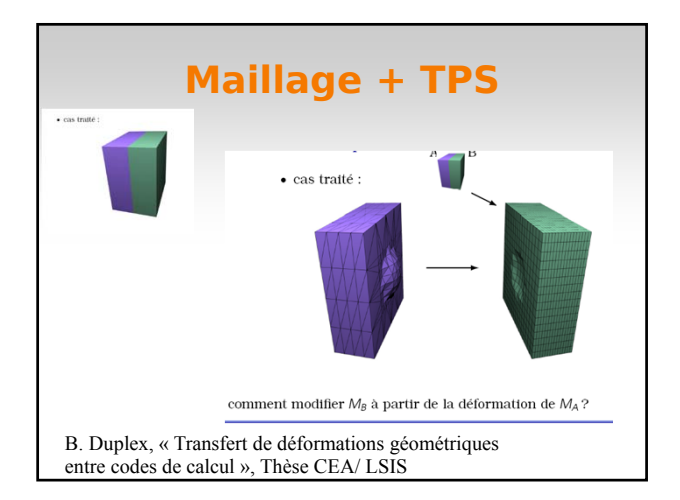






Maillage + TPS

- » But recherché
 - transférer des déformations entre plusieurs codes de calcul dont les domaines d'étude partagent une frontière.
- » Cas traité : uniquement les codes déterministes
 - \rightarrow maillages:
 - maillages des codes différents les uns des autres,
 - tous basés sur une partie (ou la totalité) de la géométrie de l'étude.
- B. Duplex, « Transfert de déformations géométriques entre codes de calcul », Thèse CEA/ LSIS



• fonction F_o ([DGDP10]) → combination de: □. une méthode de simplification: abaisse le nombre de nœuds à interpoler. — paramètre o fixe le nombre de points à garder, — points gardés jugés importants, — points notés {l_k |_{k=1,...o}. b. un réseau de fonctions de base radiale (RBF): — fonction d'interpolation du déplacement, des points {l_k |_{k=1,...o}. — RBF utilisées: Thin-Plate Splines (TPS). [DGDP10] Duplex B. Gesquière G., Daniel M. et Perdu F.: Transfer of mesh deformations between physical codes, in Curves and Surfaces conference, juin 2010. B. Duplex, « Transfert de déformations géométriques

entre codes de calcul », Thèse CEA/ LSIS

Maillage + TPS

	interpolation linéaire	représentation paramétrique	réseau de RBF
trouver fonction	×	✓	/
grand volume de données	1	√/×	×
uniquement avec nuage de points	×	×	/
qualité	×	✓	/

RBF : fonctions de base radiale (Radial Basis Functions)

B. Duplex, « Transfert de déformations géométriques entre codes de calcul », Thèse CEA/ LSIS

Maillage + TPS

• réseau de TPS de $F_{\alpha}(V), F: \mathbb{R}^3 \to \mathbb{R}^3$ est :

$$F_{\alpha}(V) = \sum_{k=1}^{\alpha} \lambda_k . \phi(\|V - L_k\|) + \mathcal{L}(V)$$

avec:

 $\|.\|$ est une norme (généralement euclidienne) sur $\mathbb{R}^3,$

V et $L_k \in \mathbb{R}^3$ deux points,

 ϕ une fonction TPS (centrée en L_k),

 $\lambda_k \in \mathbb{R}^3$, les coefficients du réseau,

 α le nombre de points utilisés par le réseau,

 $\mathcal{L}(V)$ une fonction polynomiale de degré un.

B. Duplex, « Transfert de déformations géométriques entre codes de calcul », Thèse CEA/ LSIS

Maillage + TPS

• réseau de TPS de $F_{\alpha}(V)$, $F: \mathbb{R}^3 \to \mathbb{R}^3$ est :

$$F_{\alpha}(V) = \sum_{k=1}^{\alpha} \lambda_k . \phi(\|V - L_k\|) + \mathcal{L}(V)$$

- \rightarrow nécessite la résolution d'un système linéaire d'une taille d'ordre $\alpha \times \alpha,$
- \rightarrow coûteux en temps de calcul :

$$\phi(r) = r^4.log(r),$$

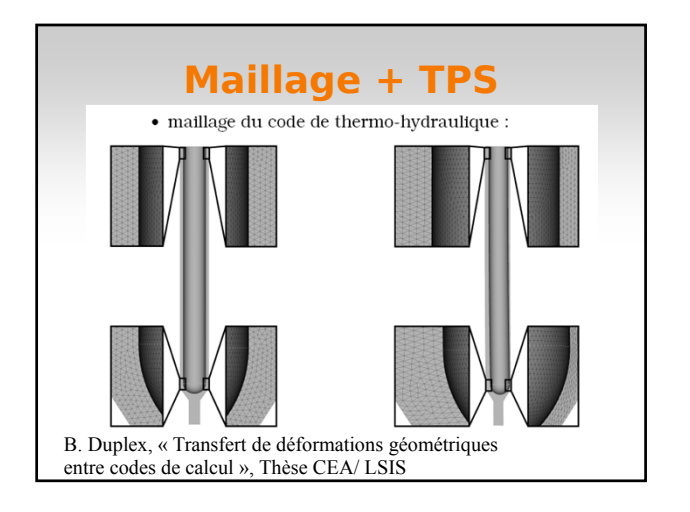
- \rightarrow fonction à support global,
- \rightarrow matrice pleine à diagonale nulle.
- \rightarrow nécessite un α petit.
- B. Duplex, « Transfert de déformations géométriques entre codes de calcul », Thèse CEA/ LSIS

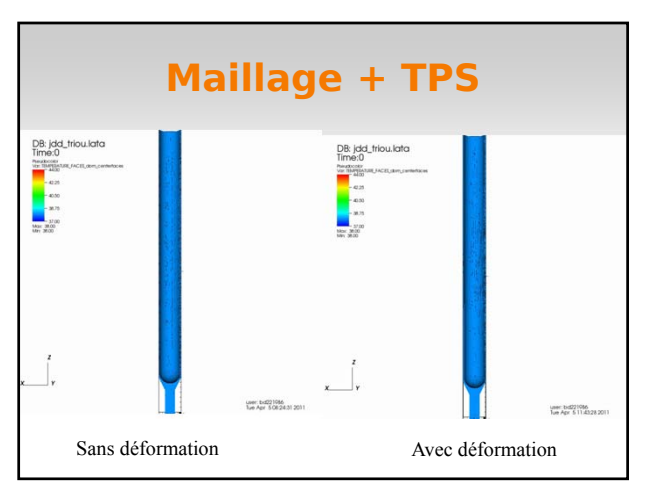
Maillage + TPS

- utilisation d'une fonction à support compact :
 - a. réduit l'influence d'un point L_k ,
 - b. aboutit à une matrice creuse \rightarrow accélération du calcul.
- fonction choisie : CS-RBF de Wendland ([Wen05])
 - a. qualité du résultat proche de celui des TPS,

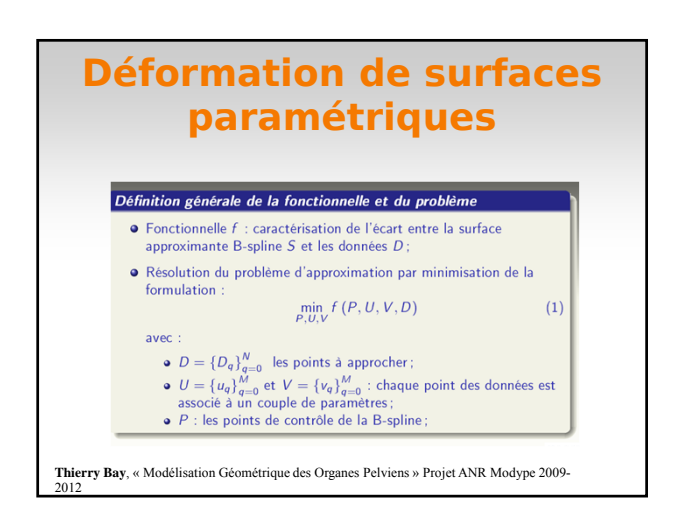
b.
$$\phi(r) = \begin{cases} (1-r)^4 \cdot (4r+1) & \text{; si } r < 0 \\ 0 & \text{; sinon} \end{cases}$$

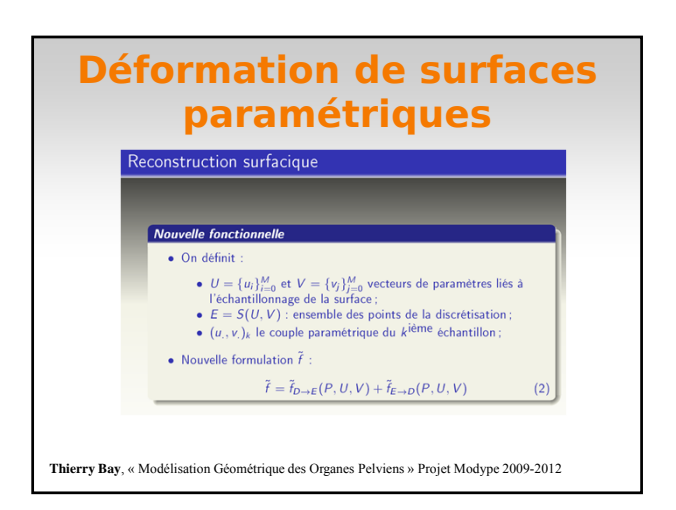
- ightarrow matrice symétrique définie positive.
- B. Duplex, « Transfert de déformations géométriques entre codes de calcul », Thèse CEA/ LSIS

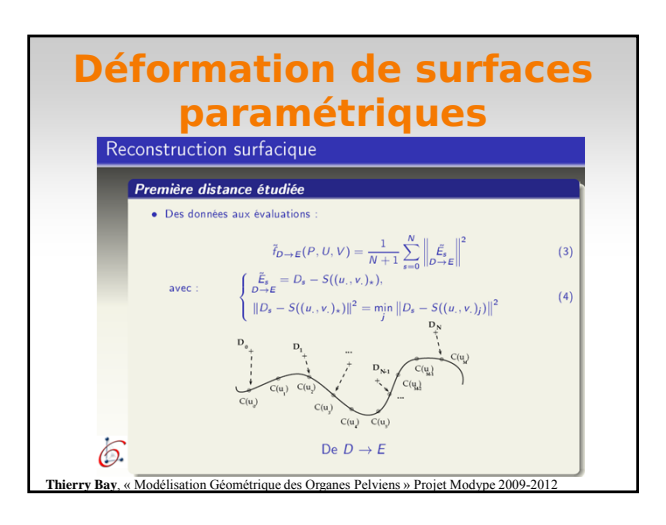


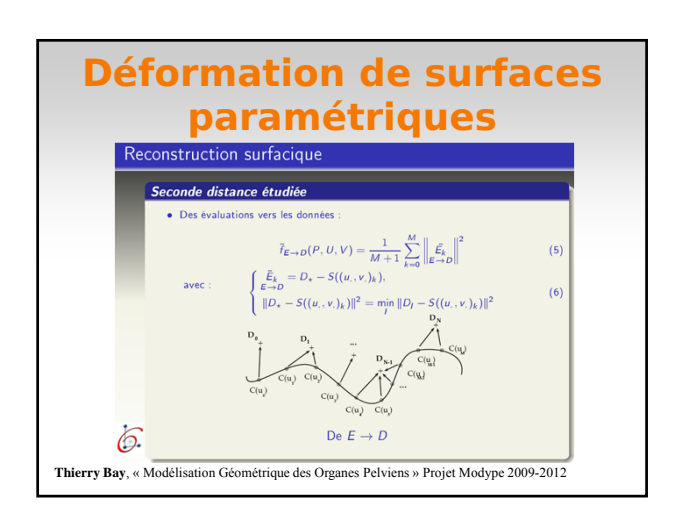


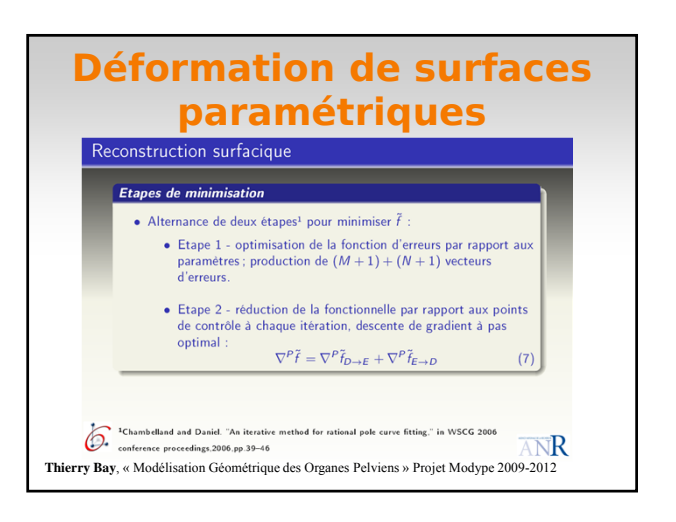
Partie 3 Déformation de différents modèles Maillage Simplexe Maillage + TPS Surfaces paramétriques Déformation par l'utilisation d'une fonctionnelle Déformation par l'utilisation de règles (approche déclarative)

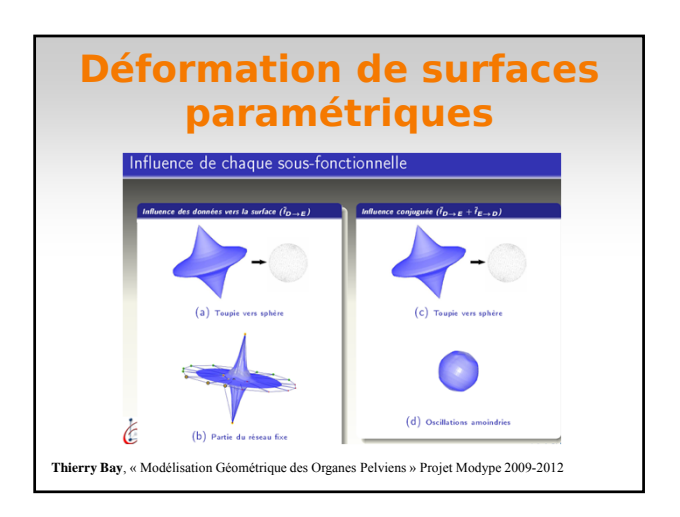
















Partie 3

- Déformation de différents modèles
 - Maillage Simplexe
 - Maillage + TPS
 - Surfaces paramétriques
 - Déformation par l'utilisation d'une fonctionnelle
 - Déformation par l'utilisation de règles (approche déclarative)

Concept déclaratif en modélisation géométrique ⇒ Approche déclarative (1/2)

Notion introduite au début des années 90.

Objectif:

« Permettre d'engendrer des formes (ou des ensembles de formes) par la simple donnée d'un ensemble de propriétés ou de caractéristiques ».

 $\label{eq:Raphael La Gréca and Approche déclarative de la modélisation de surfaces } \\ \text{Thèse, LSIS, 2005}$

Concept déclaratif en modélisation géométrique ⇒ 1. Approche déclarative (2/2)

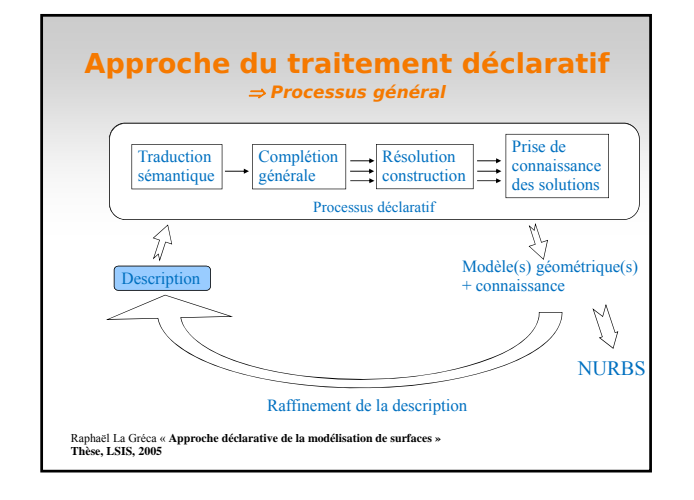
Permet une conception dont le niveau d'abstraction est élevé.

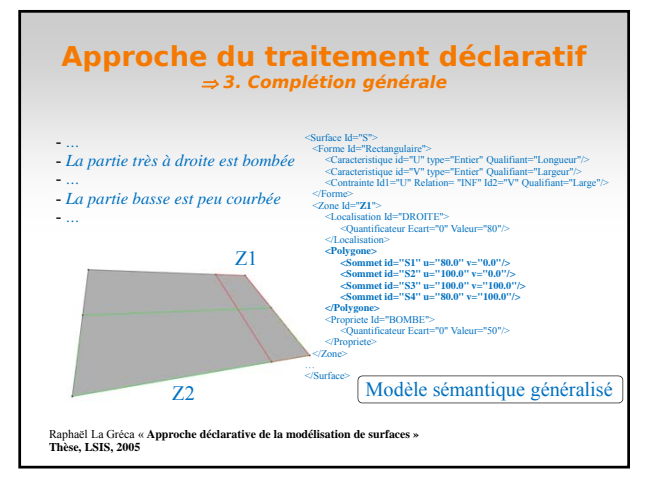
Libère l'utilisateur des contraintes primaires de modélisation.

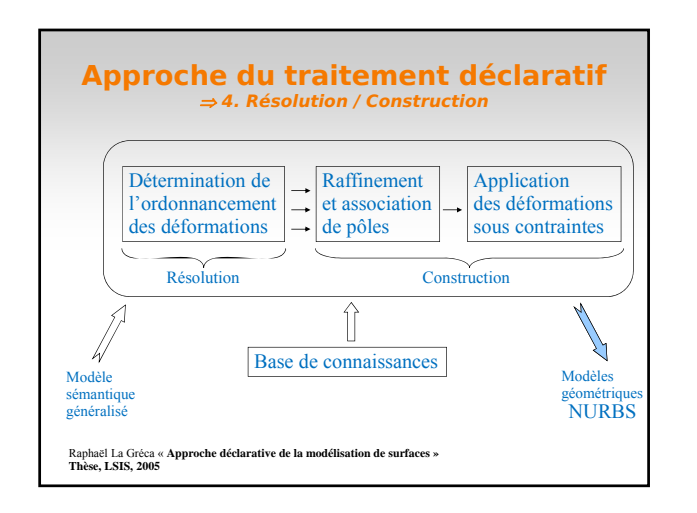
Permet à l'utilisateur de se focaliser sur la création.

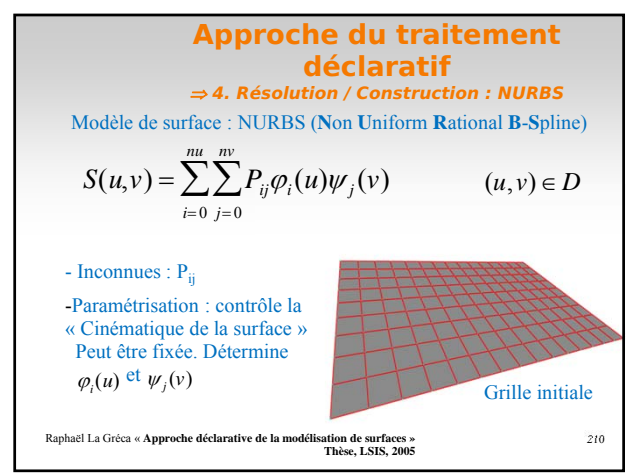
C'est un **outil** rapide et puissant de réalisation d'**ébauches** de formes.

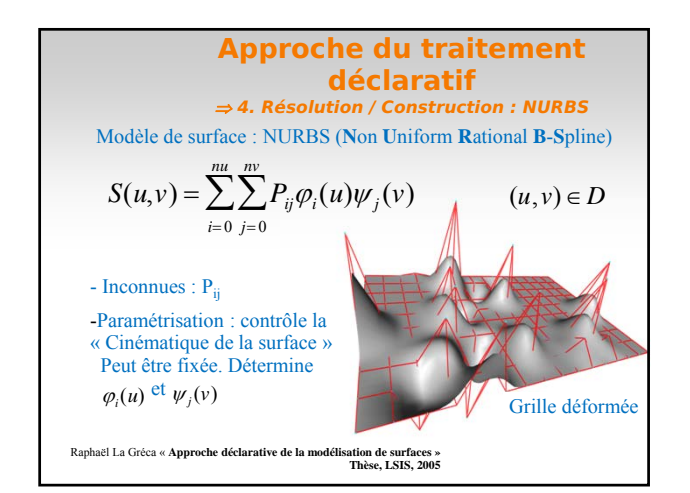
Raphaël La Gréca « Approche déclarative de la modélisation de surfaces » Thèse, LSIS, 2005

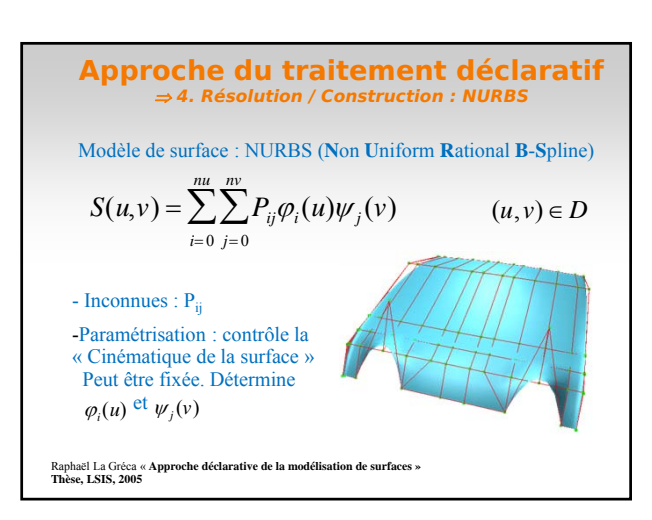


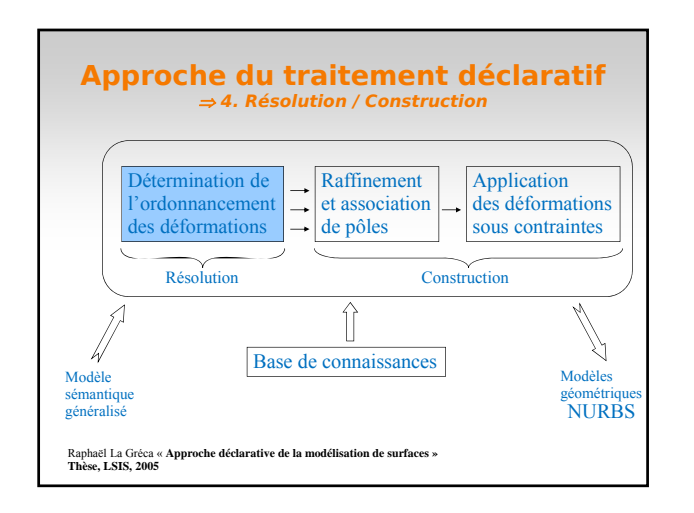


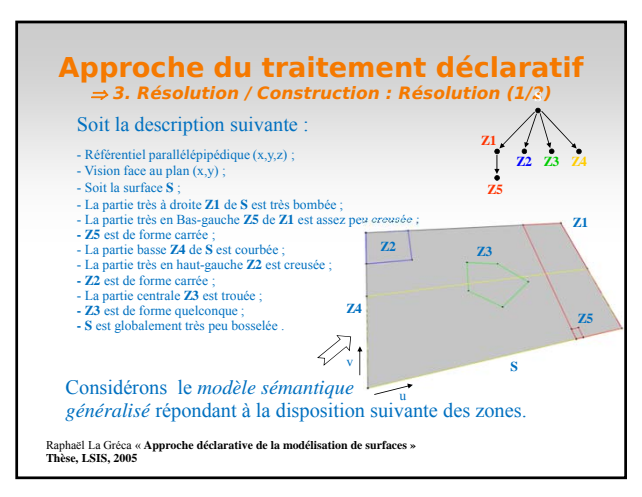


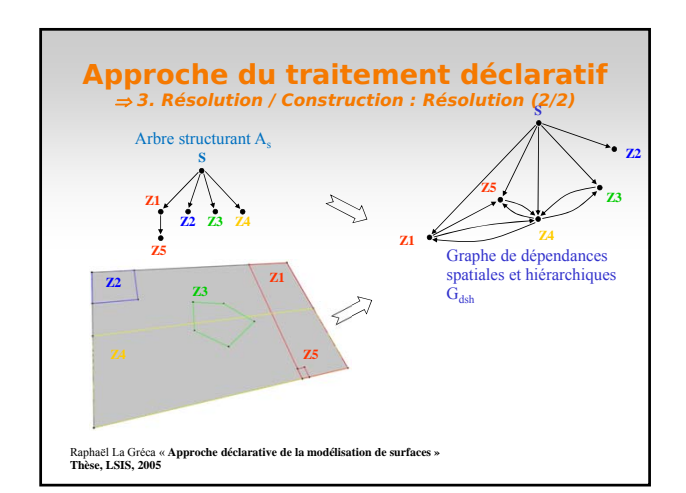


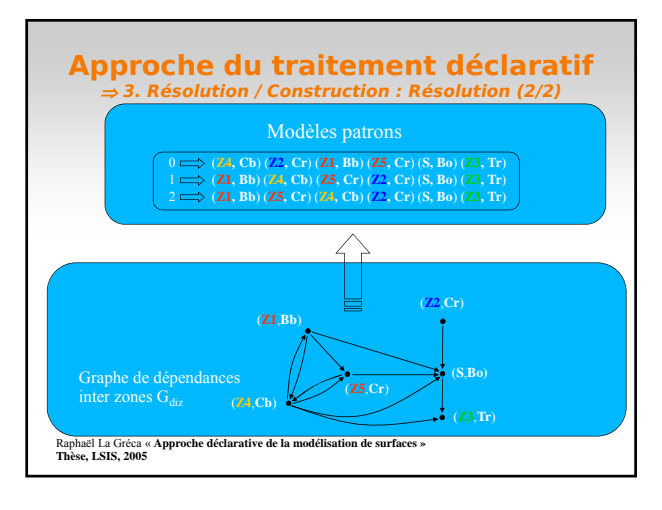


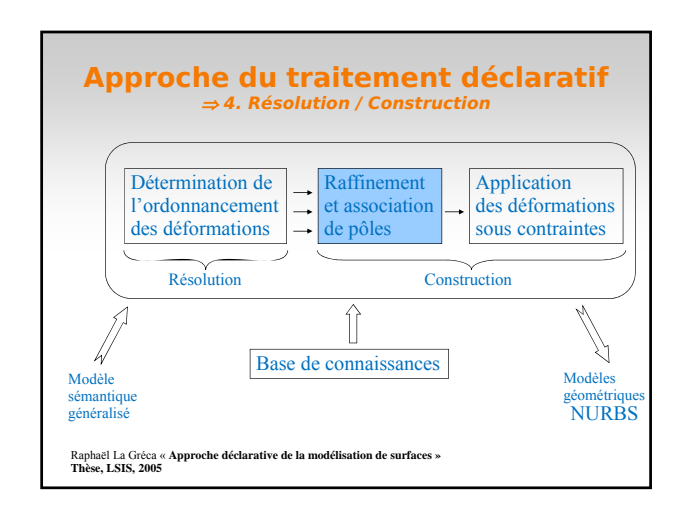


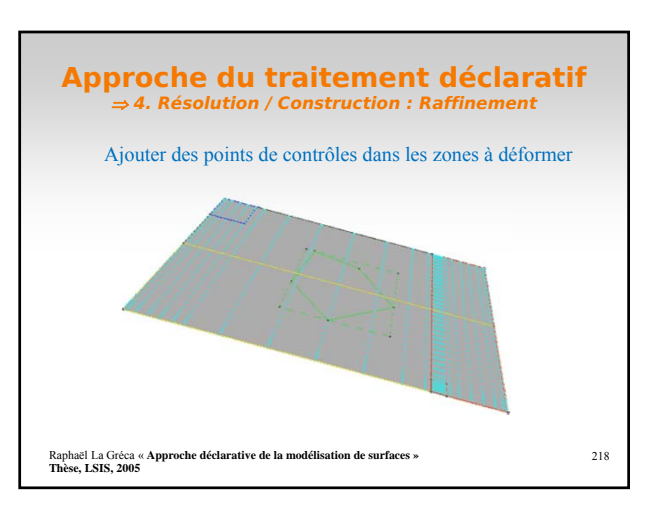












Conclusion

- Choix du modèle
 - Volumique , Surfacique ?
 - Discret/ continu?
- Déformation de modèles
 - De nombreuses méthodes existent; juste un bref aperçu
- Importance de
 - gérer la sémantique liée au modèle
 - Garder cette sémantique tout au long du cycle de vie
- Echanger des modèles = Vers un modèle interopérable ?
 - Importance de la normalisation